

Optoelectronică

Curs 11
2023/2024

Disciplina 2023/2024

- ▶ 2C/1L Optoelectronicaă **OPTO**
- ▶ **Minim 7 prezente curs + laborator**
- ▶ Curs – conf. Radu Damian
 - an IV μE
 - Marti 14(:10)–16:00, P8
 - E – 70% din nota (50%+20%)
 - **20% test (VP) la curs**, saptamana 4–6?
 - probleme + (2p prez. curs)
 - **toate materialele permise**
- ▶ Laborator – **drd. Stefan Stoica**
 - an IV μE
 - Marti 16–20 par
 - Max. 7 prezente
 - L – 30% din nota (+Caiet de laborator)

Cuprins

- ▶ **Lumina ca undă electromagnetică*** (ecuațiile lui Maxwell, ecuația undelor, parametrii de propagare)
- ▶ **Elemente de fotometrie și radiometrie*** (mărimi energetice/luminoase)
- ▶ **Fibra optică** (realizare, principiu de funcționare, atenuare, dispersie, banda de frecvență)
- ▶ **Cabluri optice** (tehnologie, conectori, lipire – splice)
- ▶ **Proiectare sistemică a legăturii pe fibra optică** (bandă de frecvență, balanță puterilor)
- ▶ **Emitătoare optice** (LED și dioda laser – realizare fizică și funcționare)
- ▶ **Receptoare optice** (dioda PIN, dioda cu avalanșă – realizare fizică și funcționare)
- ▶ **Amplificatoare transimpedanță** (parametri, scheme tipice, TIA în buclă deschisă, cu reacție, diferențiale, control automat al câștigului)
- ▶ **Realizarea circuitelor pentru controlul emitătoarelor optice** (parametri, scheme tipice, controlul puterii, multiplexoare)
- ▶ **Dispozitive de captare a energiei solare** (principiu de funcționare, utilizare, proiectare)

* – VP

Documentatie

We are enlisted in the Telecommunications Department of the Electronics, Telecommunication and Information Technology Faculty (**ETTI**) from the "Gh. Asachi" Technical University (**TUIASI**) in Iasi, Romania

We currently cover inside **ETTI** the fields related to:

- Microwave Circuits and Devices
- Optoelectronics
- Information Technology

Courses

Nr.	Course	Shortcut	Code	Type	Semester	Credits	Weekly	Examination	Link
1	Microwave Devices and Circuits for Radiocommunications	DCMR	DOS412T	DOS	7	4	0P,1L,0S,2C	Exam	details
2	Monolithic Microwave Integrated Circuits	CIMM	RD.IA.207	DOMS	11	6	1.5P,0L,0S,2C,0P	Exam	details
3	Advanced Techniques in the Design of the Radio-communications Systems	TAPSR	RD.IA.103	DIMS	9	6	1.5P,0L,0S,2C	Exam	details
4	Optical Communications	CO	DOS409T	DOS	7	5	0P,1L,0S,3C	Colloquium	details
5	Optical Communications	OC	EDOS409T	DOS	7	5	0P,1L,0S,3C	Exam	details
6	Satellite Communications	CS	RC.IA.104	DIMS	9	6	0L,0S,2C,1.5P	Exam	details
7	Applied Informatics 1	IA1	DOF135	DOF	1	4	0P,1L,0S,2C	Verification	details
8	Applied Informatics 1	AI1	EDOF135	DOF	1	4	0P,1L,0S,2C	Verification	details
9	Databases, Web Programming and Interfacing	DWPI	ITI.IA.601	DIS	11	5	1P,1L,0.25S,1C	Verification	details
10	Web Applications Design	PAW	RC.IA.108	DIMS	10	5	1L,0S,1.5C,1P	Exam	details
11	Optoelectronics	OPTO	DID405M	DID	8	4	0P,1L,0S,2C	Colloquium	details
12	Microwave Devices and Circuits for Radiocommunications (English)	MDCR	EDOS412T	DOS	8	4	0P,1L,0S,2C	Exam	details



Documentatie

- ▶ RF-OPTO
 - <http://rf-opto.eti.tuiasi.ro>
- ▶ Fotografie
 - “examen” online
 - necesara la laborator/curs

LED

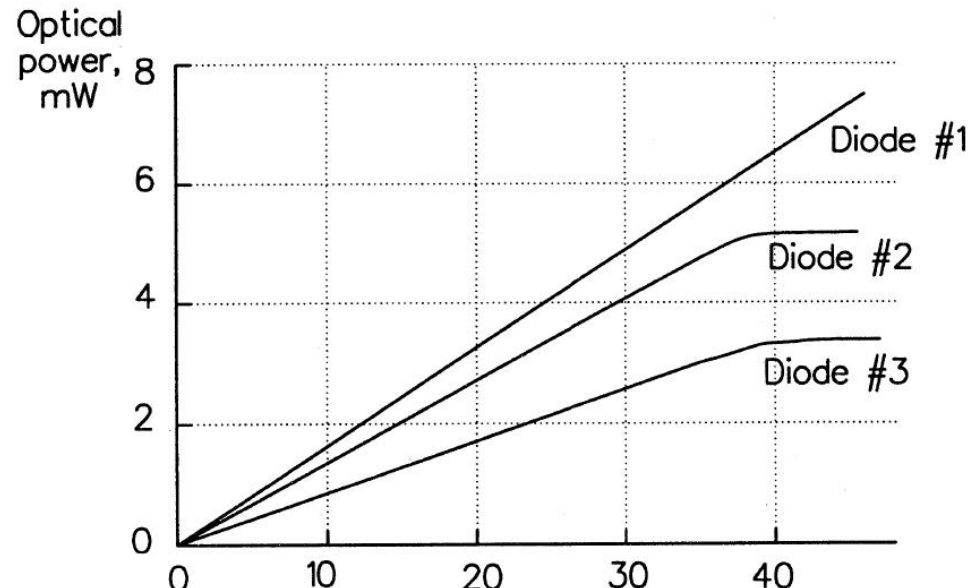
Dioda electroluminescentă
Capitolul 7

Caracteristica de raspuns a LED-urilor

- ▶ Caracteristica putere optica emisa functie de curentul direct prin LED este liniara la nivele mici ale curentului.
- ▶ Nu exista curent de prag
- ▶ La nivele foarte mari puterea optica se satureaza
- ▶ Rezonabilitatea

$$r = \frac{P_o}{I} \quad \left[\frac{W}{A} \right]$$

- ▶ Tipic $r=50\mu W/mA$



Control static LED

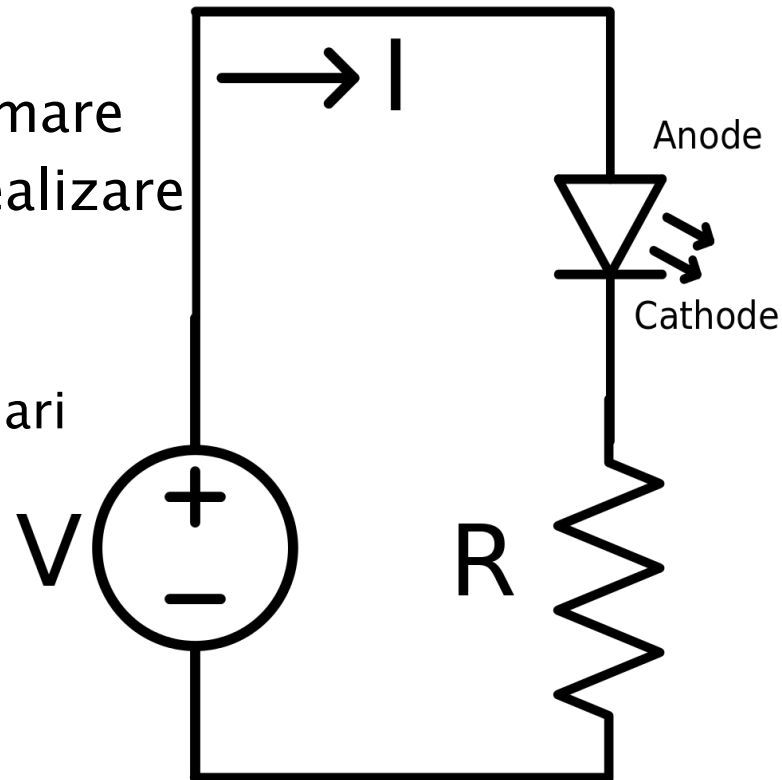
- ▶ Cea mai simpla schema de control:
un rezistor in serie cu LED

- **Atentie!** Tensiunea directa poate varia semnificativ ($>>0.7V$) si trebuie preluata din catalog

- mai ales la intensitate luminoasa mare
- datorita materialelor diferite de realizare a LED-urilor
- dependenta de lungimea de unda
 - mai mica la lungimi de unda mai mari

$$I_v = f(I_F[\text{mA}]) \quad [\text{cd/mcd}]$$

$$I_F = \frac{V_{cc} - V_F}{R}$$



Control static LED



Ultra Bright LED Lamps Round Types

Package	Part No.	Chip			Absolute Maximum Ratings				Electro-optical Data(At 20mA)			Viewing Angle 2θ 1/2 (deg)	Drawing No.			
		Material Emitted Color	Peak Wave Length p(nm)	Dominant Wave Length λd(nm)	Δλ (nm)	Pd (mw)	If (mA)	Peak (mA)	Vf (V)	Iv (mcd)	Typ.	Max				
T-1 Standard 1.0" Lead 3φ Water Clear	BL-BF43V1	GaAlAs/ DDH Super Red	660	643±5	20	80	30	150	2.0	2.6	700	25	L-001	3.5	4.0	3500
	BL-BG33V1	InGaAlP/ Yellow Green	573	571±5	15	100	30	150	2.2	2.6	700	25		3.5	4.0	4000
	BL-BG43V1	InGaN/SiC/ Bluish Green	505	505±5	30	120	30	150	3.5	4.0	3500	24		2.2	2.6	1700
	BL-BG63V1	InGaN/SiC/ Green	525	525±5	35	120	30	150	3.5	4.0	4000	24		2.2	2.6	1100
	BL-BJ23V1	InGaAlP/ Super Orange	620	615±5	17	100	30	150	2.2	2.6	1700	25				
	BL-BJ33V1	InGaAlP/ Super Orange	630	625±5	17	100	30	150	2.2	2.6	1100	25				
	BL-BJ63V1	InGaAlP/ Super Orange	610	605±5	17	100	30	150	2.2	2.6	1500	25				
	BL-BJ73V1	InGaAlP/ Super Orange	630	625±5	17	100	30	150	2.2	2.6	1500	25				
	BL-BJH3V1	InGaAlP/ Super Orange	630	625±5	17	100	30	150	2.2	2.6	2500	25				
	BL-BJG3V1	InGaAlP/ Super Orange	630	625±5	17	100	30	150	2.2	2.6	3000	25				
	BL-BK43V1	InGaAlP/ Super Yellow	590	587±5	15	100	30	150	2.2	2.6	1600	25				
	BL-BK53V1	InGaAlP/ Super Yellow	595	594±5	15	100	30	150	2.2	2.6	1500	25				
	BL-BK73V1	InGaAlP/ Super Yellow	595	594±5	15	100	30	150	2.2	2.6	2000	25				
	BL-BK83V1	InGaAlP/ Super Yellow	590	587±5	15	100	30	150	2.2	2.6	2000	25				
	BL-BKH3V1	InGaAlP/ Super Yellow	590	587±5	15	100	30	150	2.2	2.6	2500	25				
	BL-BKG3V1	InGaAlP/ Super Yellow	590	587±5	15	100	30	150	2.2	2.6	3000	25				
	BL-BF43V4V	GaAlAs/ DDH Super Red	660	643±5	20	80	30	150	2.0	2.6	1200	15				
	BL-BG33V4V	InGaAlP/ Yellow Green	573	571±5	15	100	30	150	2.2	2.6	1100	15				
	BL-BG43V4V	InGaN/SiC/ Bluish Green	505	505±5	30	120	30	150	3.5	4.0	6000	12				
	BL-BG63V4V	InGaN/SiC/ Green	525	525±5	35	120	30	150	3.5	4.0	5600	12				

♦ Electro-Optical Characteristics

Item	Symbol	Condition	Minimum	Typical	Maximum	Unit
Forward Voltage	V _F	I _F = 240 mA		19.0		V
Brightness	I _v	I _F = 240 mA		13		cd
Total Radiated Power	P _o	I _F = 240 mA		60		mW

Diода Laser

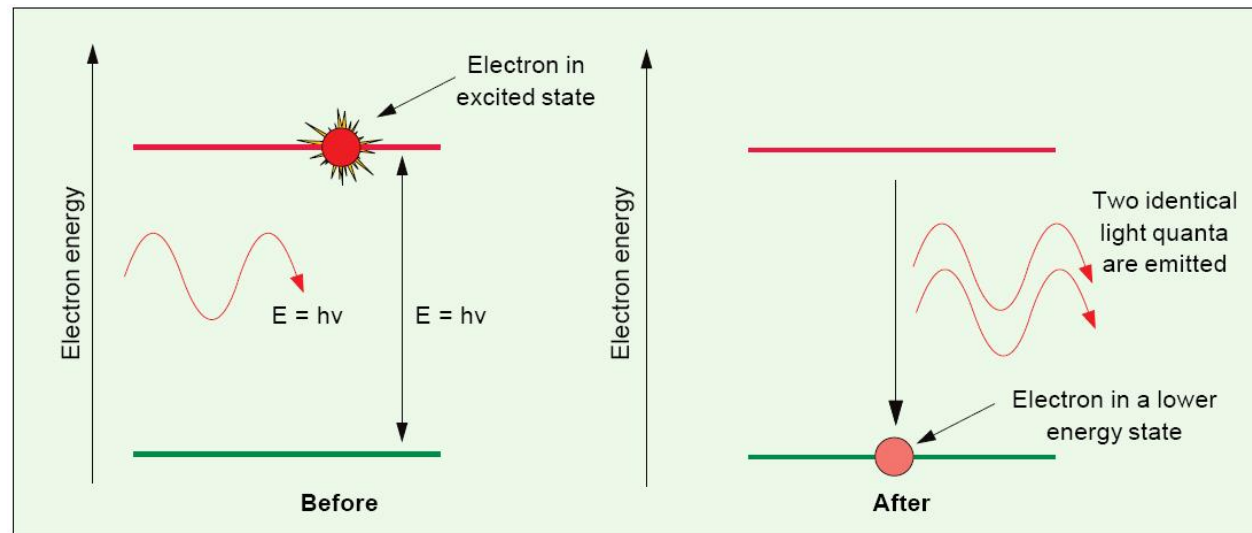
Capitolul 8

Cuprins

- ▶ Lumina ca undă electromagnetică (ecuațiile lui Maxwell, ecuația undelor, parametrii de propagare)
- ▶ Elemente de fotometrie și radiometrie (mărimi energetice/luminoase)
- ▶ Fibra optică (realizare, principiu de funcționare, atenuare, dispersie, banda de frecvență)
- ▶ Cabluri optice (tehnologie, conectori, lipire – splice)
- ▶ Proiectare sistemică a legăturii pe fibra optică (bandă de frecvență, balanță puterilor)
- ▶ **Emițătoare optice** (LED și dioda laser – realizare fizică și funcționare)
- ▶ Receptoare optice (dioda PIN, dioda cu avalanșă – realizare fizică și funcționare)
- ▶ Amplificatoare transimpedanță (parametri, scheme tipice, TIA în buclă deschisă, cu reacție, diferențiale, control automat al câștigului)
- ▶ Realizarea circuitelor pentru controlul emițătoarelor optice (parametri, scheme tipice, controlul puterii, multiplexoare)
- ▶ Dispozitive de captare a energiei solare (principiu de funcționare, utilizare, proiectare)

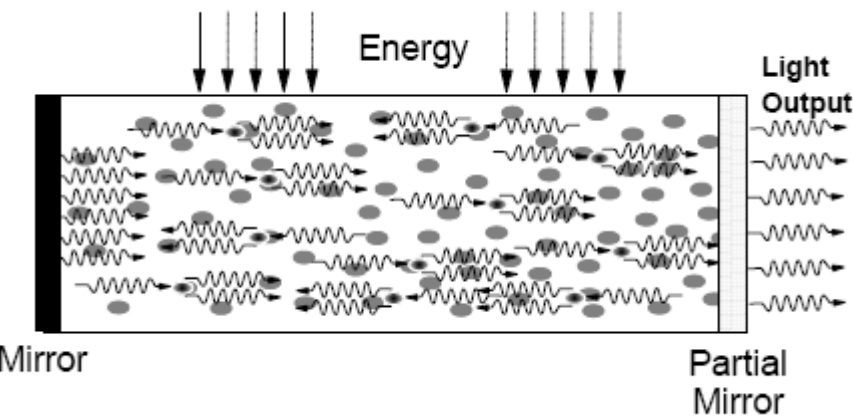
Diода LASER – Principiu de operare

- ▶ Emisia stimulata – un foton incident cu energie corespunzatoare poate stimula emisia unui alt doilea foton **fara a fi absorbit**
- ▶ Noul foton are aceeasi directie si faza cu fotonul incident, Lumina rezultata e coerenta

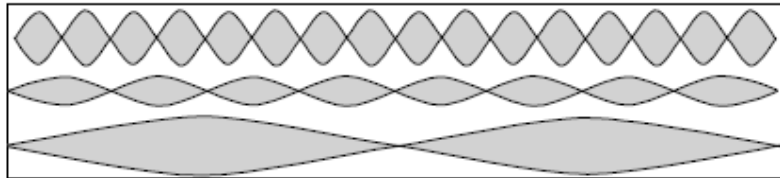


Diода LASER – Principiul de realizare

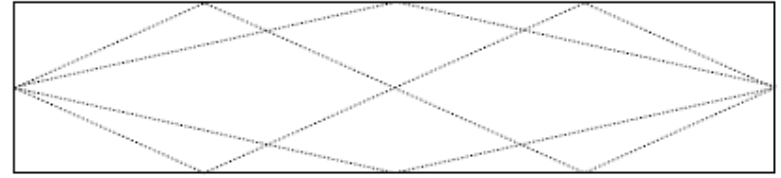
- ▶ Pentru ca emisia stimulata sa apara, fotonii emisi trebuie sa ramana in contact cu materialul o perioada mai mare de timp – 2 oglinzi necesare
- ▶ Pentru a permite extragerea radiatiei e necesar ca una din oglinzi sa fie parțial reflectanta



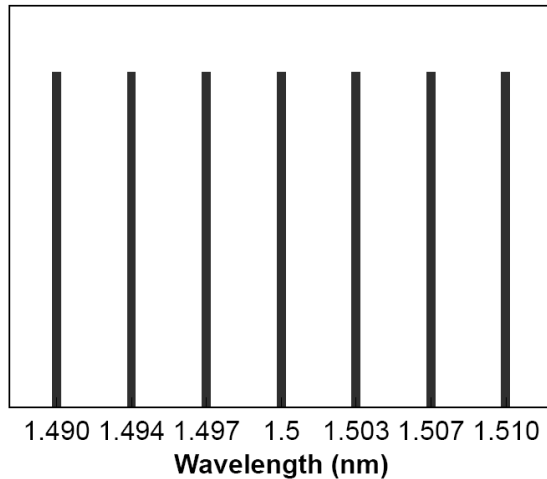
Spectrul diodei LASER



Longitudinal Modes



Lateral Modes



$$f_k = k \cdot \frac{c_0}{2 \cdot n \cdot L} \quad \Delta f = \frac{c_0}{2 \cdot n \cdot L}$$

$$\Delta\lambda \cong \frac{\lambda_0^2}{2 \cdot n \cdot L}$$

Caracteristica de raspuns DL

- ▶ Amorsarea emisiei stimulate necesita pomparea unei anumite cantitati de energie – curent de prag

$I < I_{th}$ regim LED

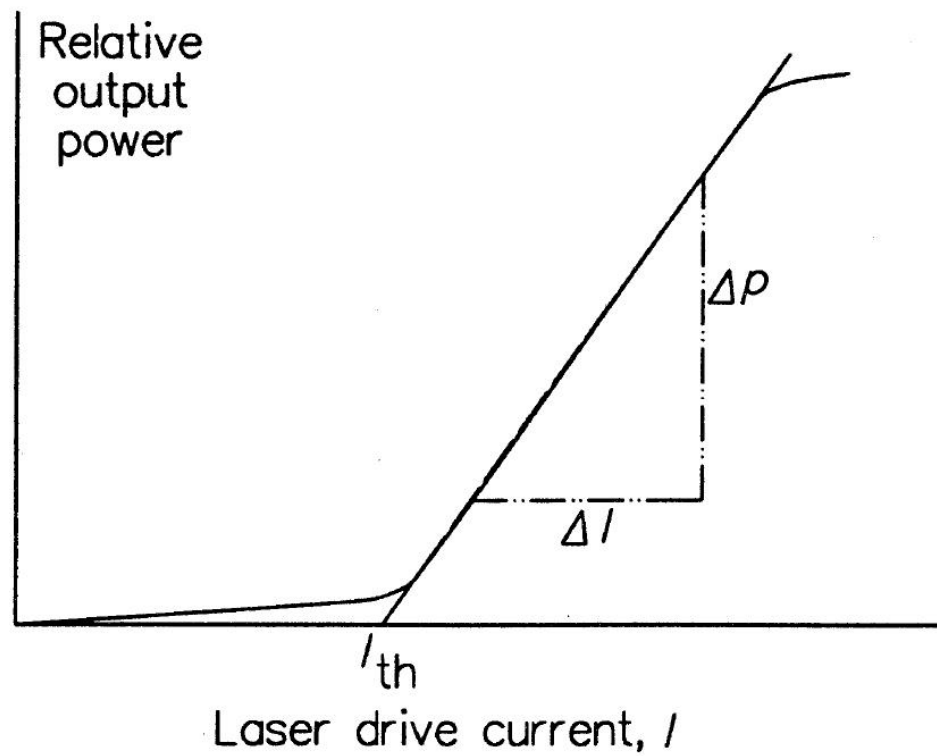
ineficient!, $P_o \approx 0$

$I > I_{th}$ regim LASER

$$r = \frac{\Delta P_o}{\Delta I} \left[\frac{W}{A} \right]$$

$$P_o = r \cdot (I - I_{th})$$

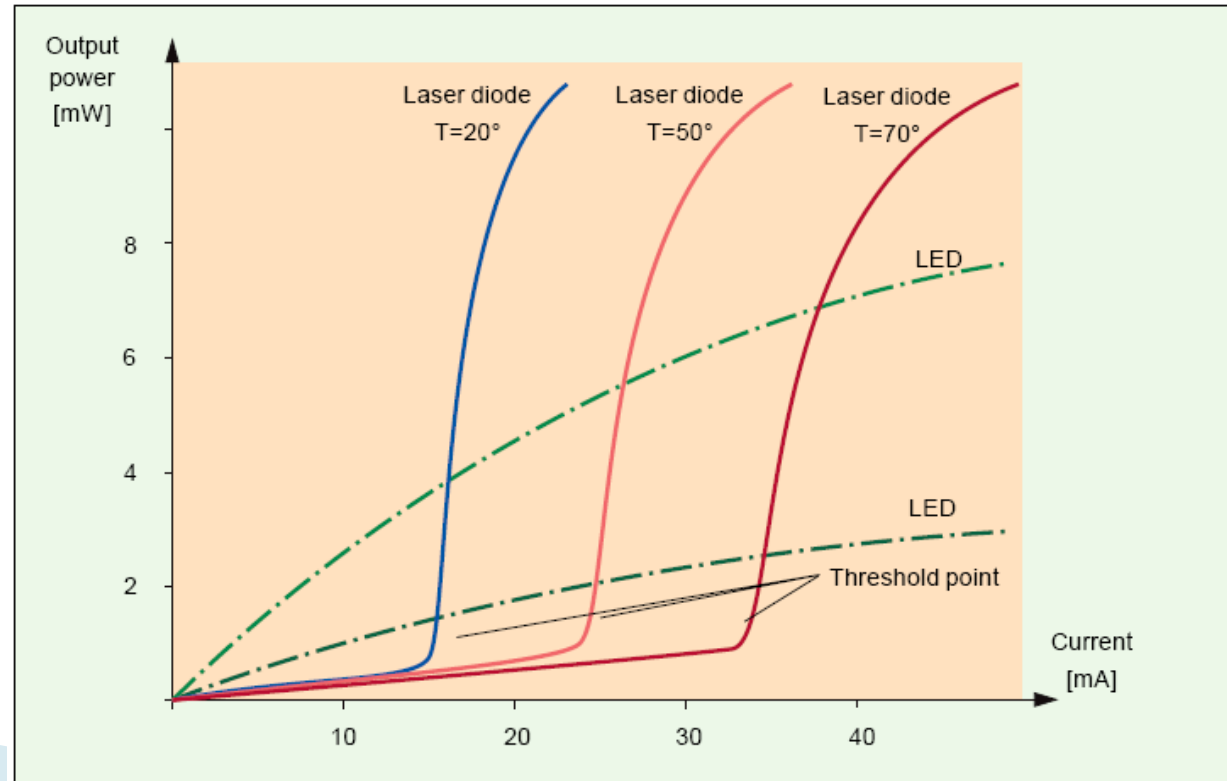
Apare saturare la nivele mari de curent



Parametri dioda LASER

Temperatura si îmbatrânire

- ▶ Curentul de prag variaza cu temperatura si cu timpul
- ▶ Variatia tipica 1–2%/°C



Dependenta de temperatura

- Dependenta de temperatura a curentului de prag este exponentiala

$$I_{th} = I_0 \cdot e^{T/T_0}$$

- I_0 e o constanta determinata la temperatura de referinta

Material	Lungime de unda	T_0
InGaAsP	1300 nm	60÷70 K
InGaAsP	1500 nm	50÷70 K
GaAlAs	850 nm	110÷140 K

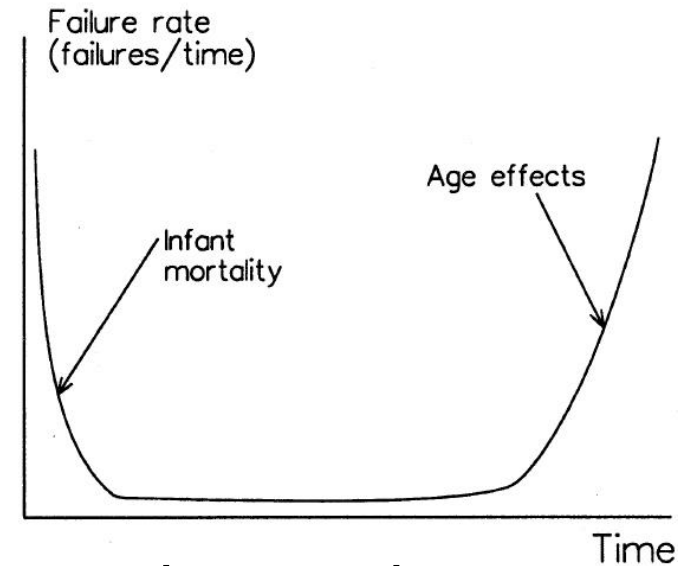
Degradare in timp

- ▶ Puterea scade in timp exponential

$$P(t) = P_0 \cdot e^{-t/\tau_m}$$

- ▶ τ_m – timpul de viata
- ▶ Diodele laser sunt supuse la conditii extreme de lucru
 - densitati de curent in zona activa $2000 \div 5000 \text{ A/cm}^2$
 - densitati de putere optica: $10^5 \div 10^6 \text{ W/cm}^3$
- ▶ Diverse definitii ale timpului de viata fac comparatiile dificile

Degradare in timp



- ▶ Cresterea curentului duce la scaderea duratei de viata
$$\tau_m \sim J^{-n}$$
 - $n = 1.5 \div 2$ (empiric)
 - dublarea curentului duce la scaderea de 3–4 ori a duratei de viata
- ▶ Cresterea temperaturii duce la scaderea duratei de viata

$$\tau_m \sim e^{E/kT}$$

- $E = 0.3 \div 0.95 \text{ eV}$ (valoarea tipica in teste 0.7 eV)
- cresterea temperaturii cu 10 grade injumatatestă durata de viata

Parametri

- ▶ Coerenta radiatiei emise
 - LED: $t_c \approx 0.5\text{ps}$, $L_c \approx 15\mu\text{m}$
 - LASER : $t_c \approx 0.5\text{ns}$, $L_c \approx 15\text{cm}$

$$L_c = c \cdot t_c = \frac{\lambda_0^2}{\Delta\lambda}$$

- ▶ Stabilitatea frecventei
 - detectie necoerenta (modulatie in amplitudine)
 - mai ales in sistemele multicanal
- ▶ Timpul de raspuns
- ▶ Viteza, interval de reglaj

Eficienta

- ▶ eficienta de conversie electro-optic
(randament)

$$\eta = \frac{P_{out}(\text{optic})}{P_{in}(\text{electric})} = \frac{P_o}{V_f \cdot I_f} \approx \frac{r \cdot (I_f - I_{th})}{V_f \cdot I_f}$$

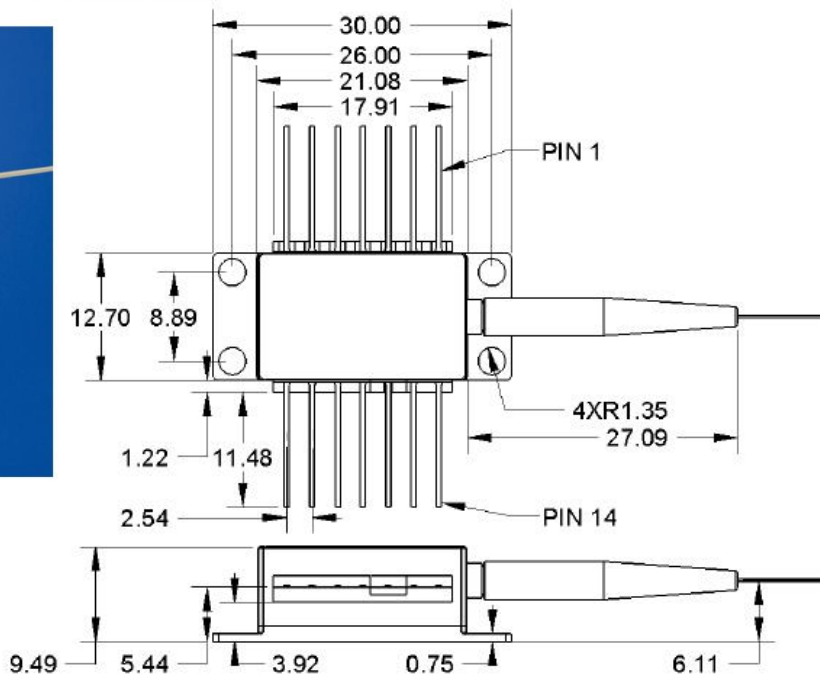
- ▶ tipic, randamente sub 10% sunt intalnite
- ▶ eficienta cuantica
 - interna
 - externa

$$\eta = \frac{n_f}{n_e} \quad \eta = \frac{\Delta P/h\nu}{\Delta I/e} = r \cdot \frac{e}{h\nu}$$

1550nm DFB Laser

Mechanical Drawing

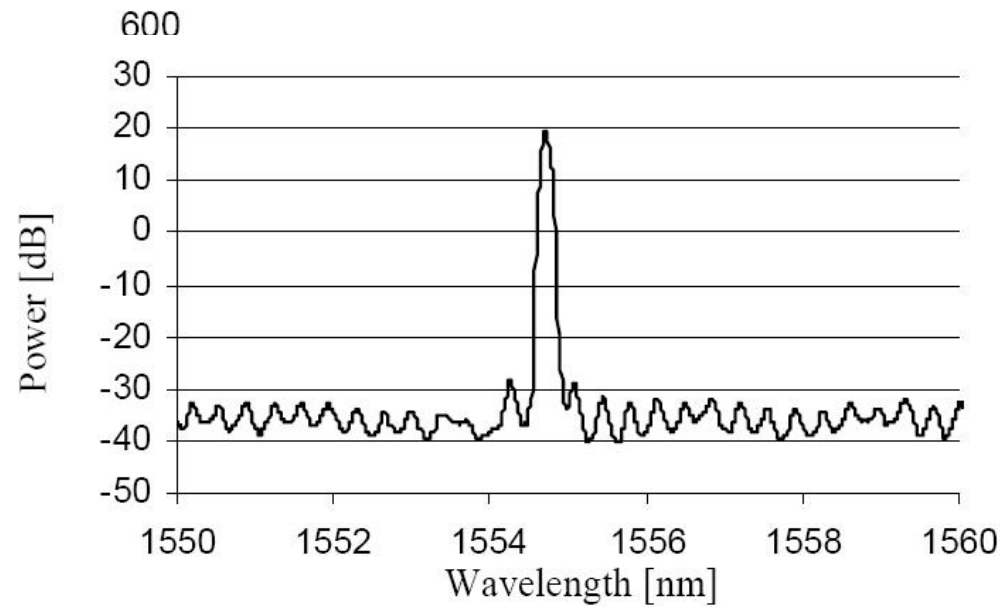
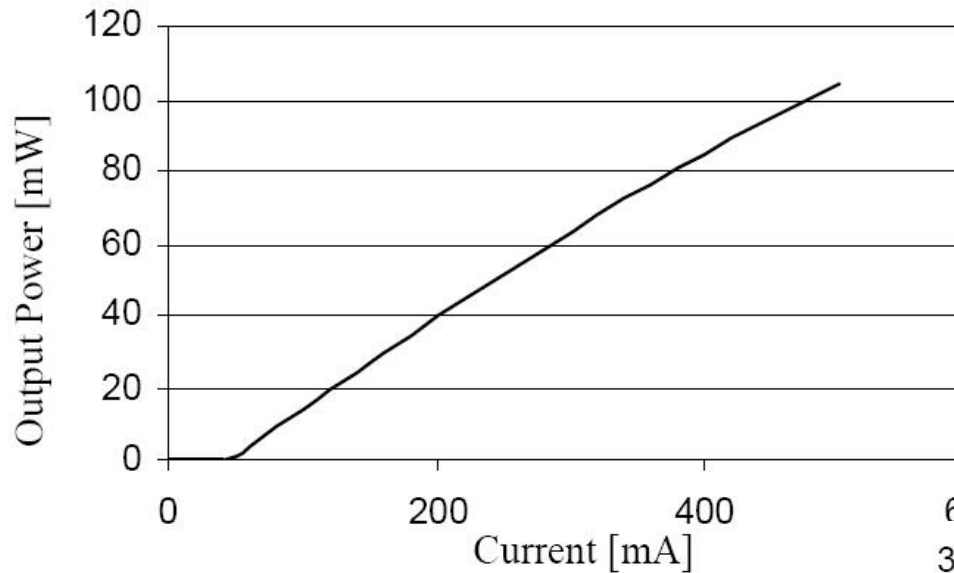
All units in mm



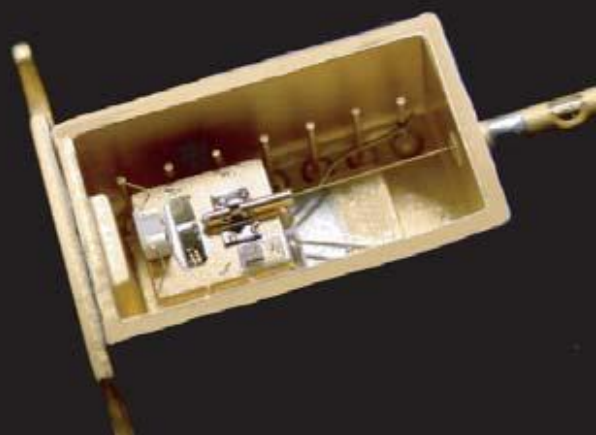
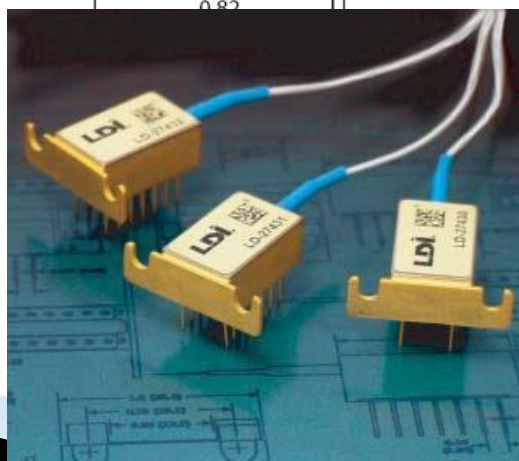
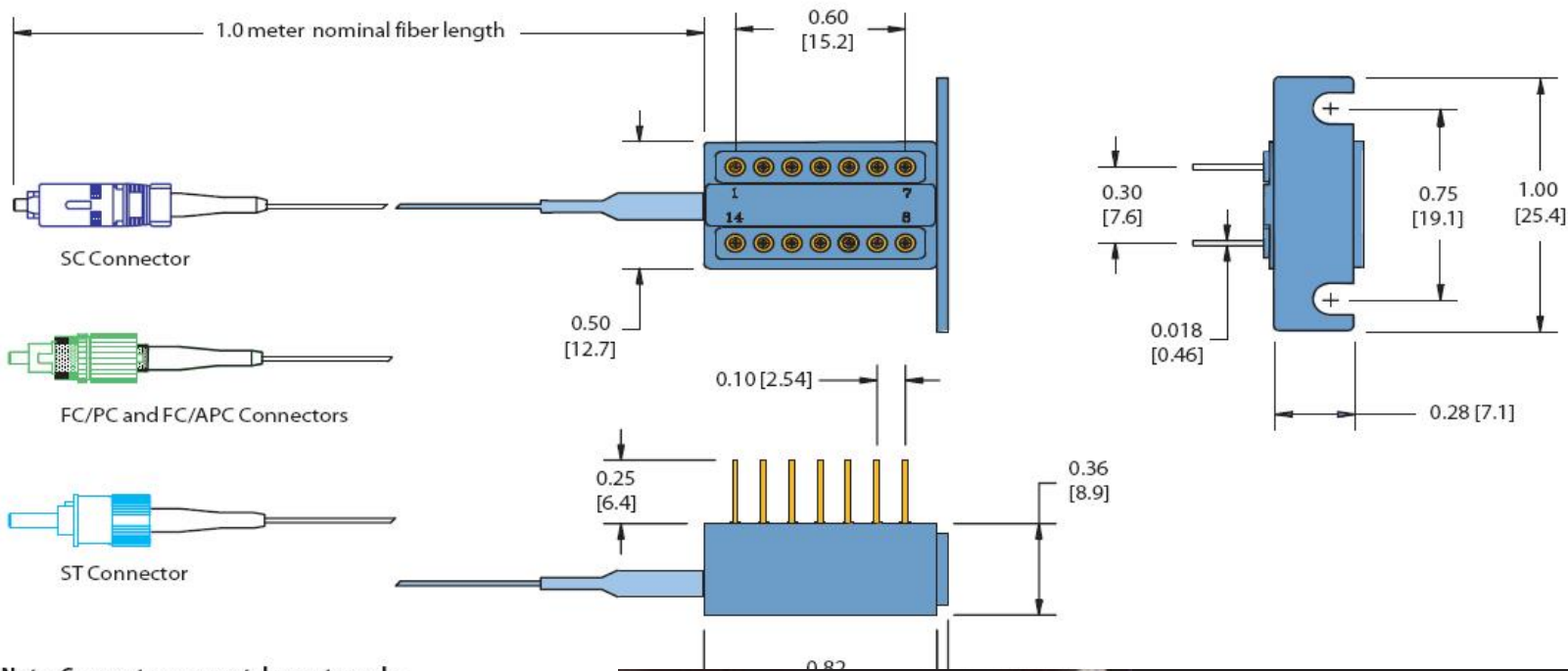
Pin out

Pin	Description
1	Thermistor
2	Thermistor
3	Laser Cathode (Bias)
4	Monitor PD Anode
5	Monitor PD Cathode
6	TEC +
7	TEC -
8	Case GND, Laser Anode
9	Case GND, Laser Anode
10	Case GND, Laser Anode
11	Case GND, Laser Anode
12	Laser Cathode (modulation)
13	Case GND, Laser Anode
14	Case GND, Laser Anode

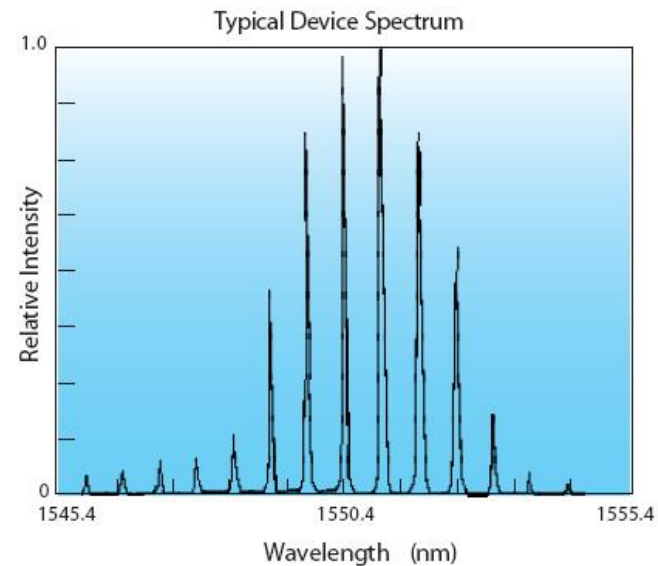
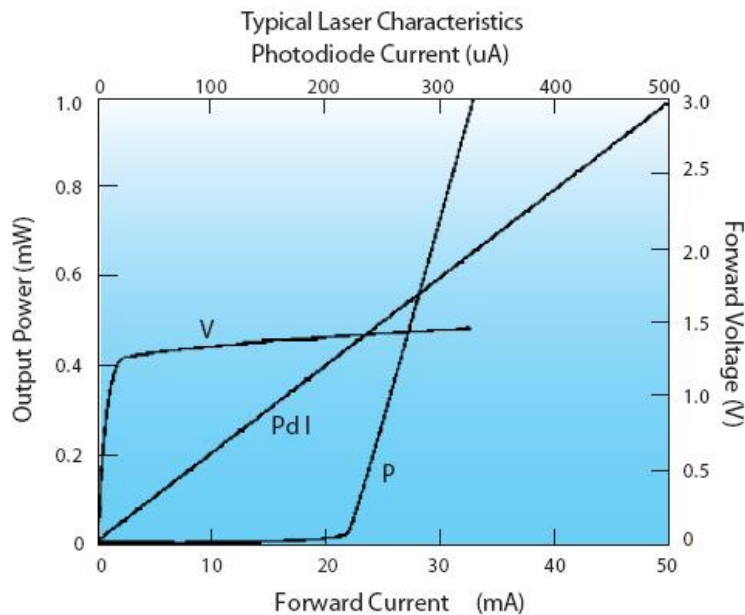
1550nm DFB Laser



1550nm MQW Laser

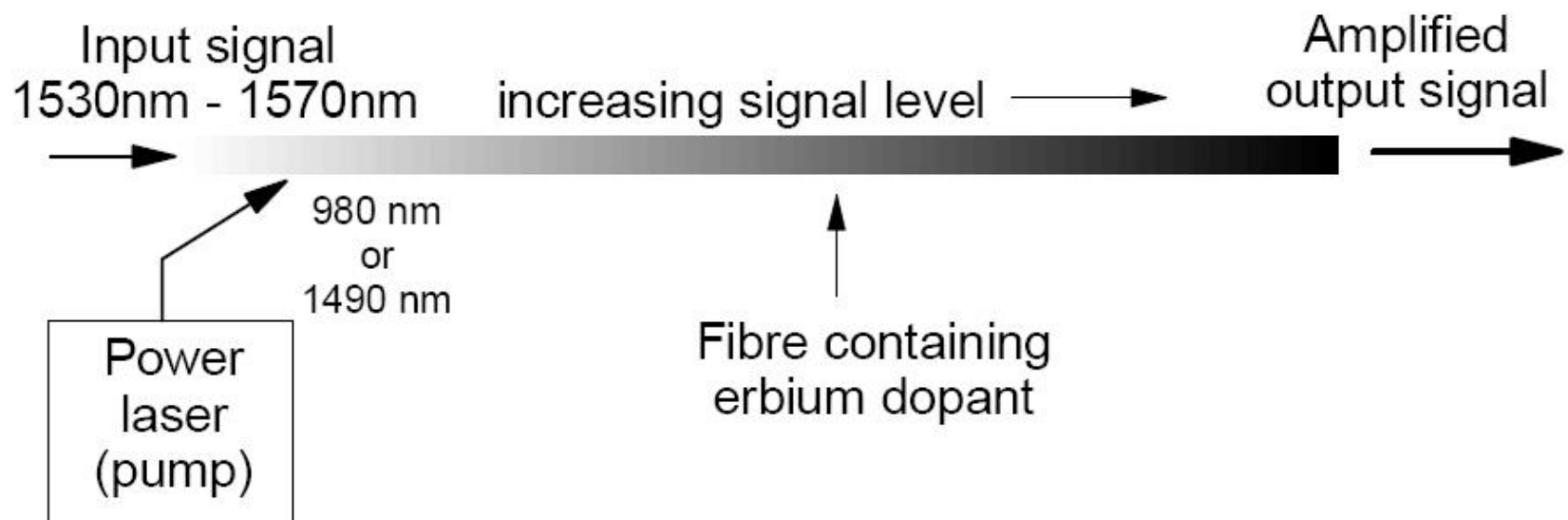


1550nm MQW Laser

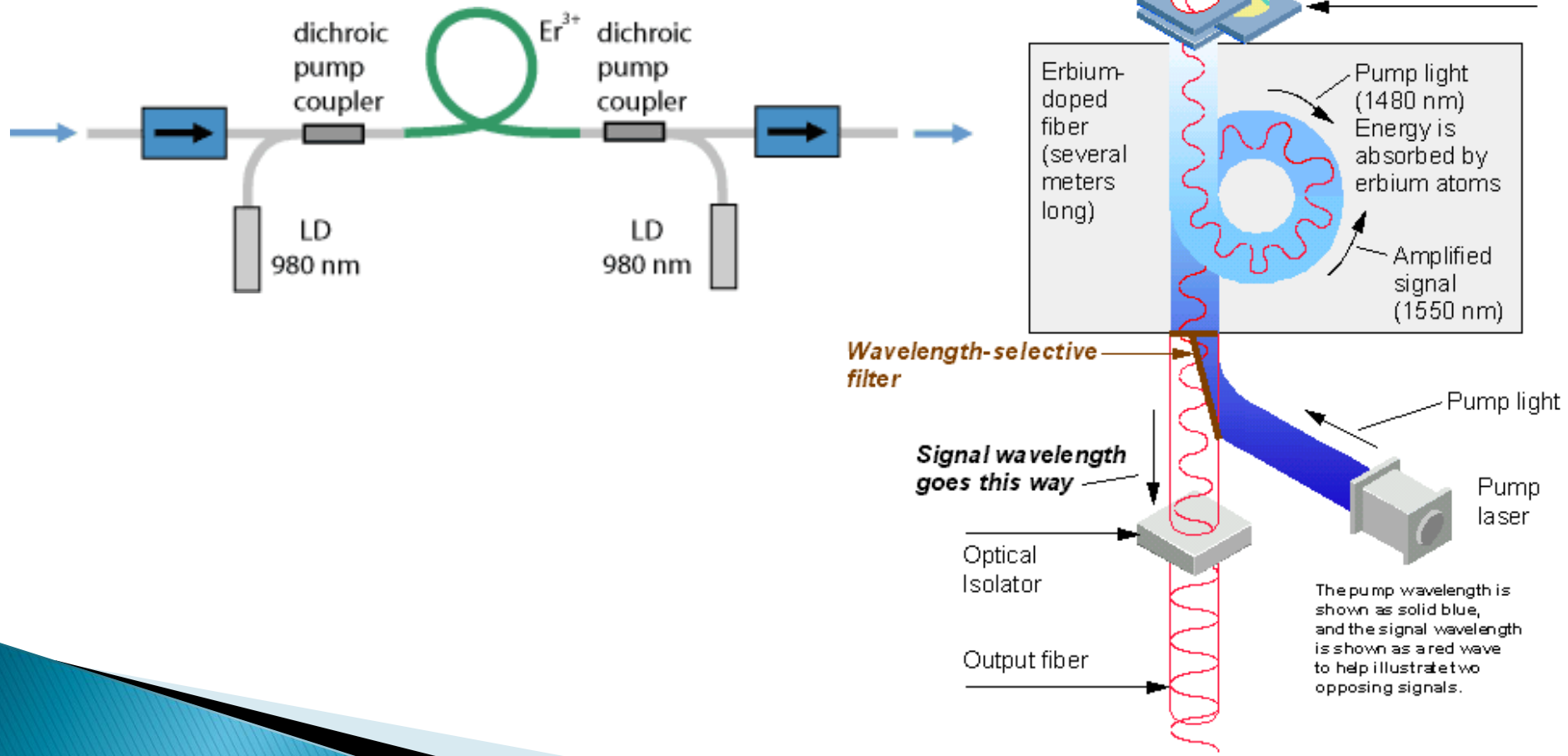


EDFA

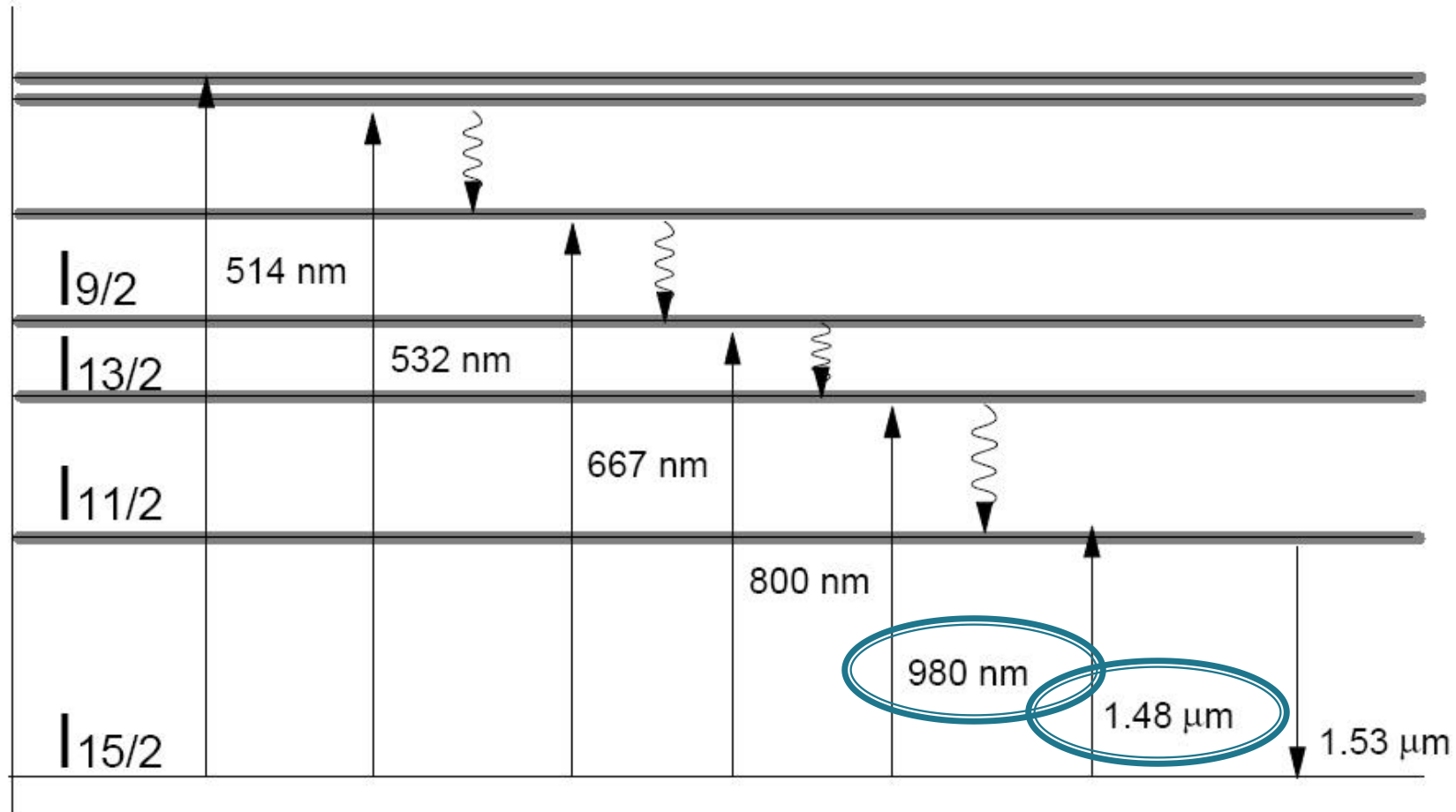
► Erbium Dopped Fiber Amplifier



EDFA

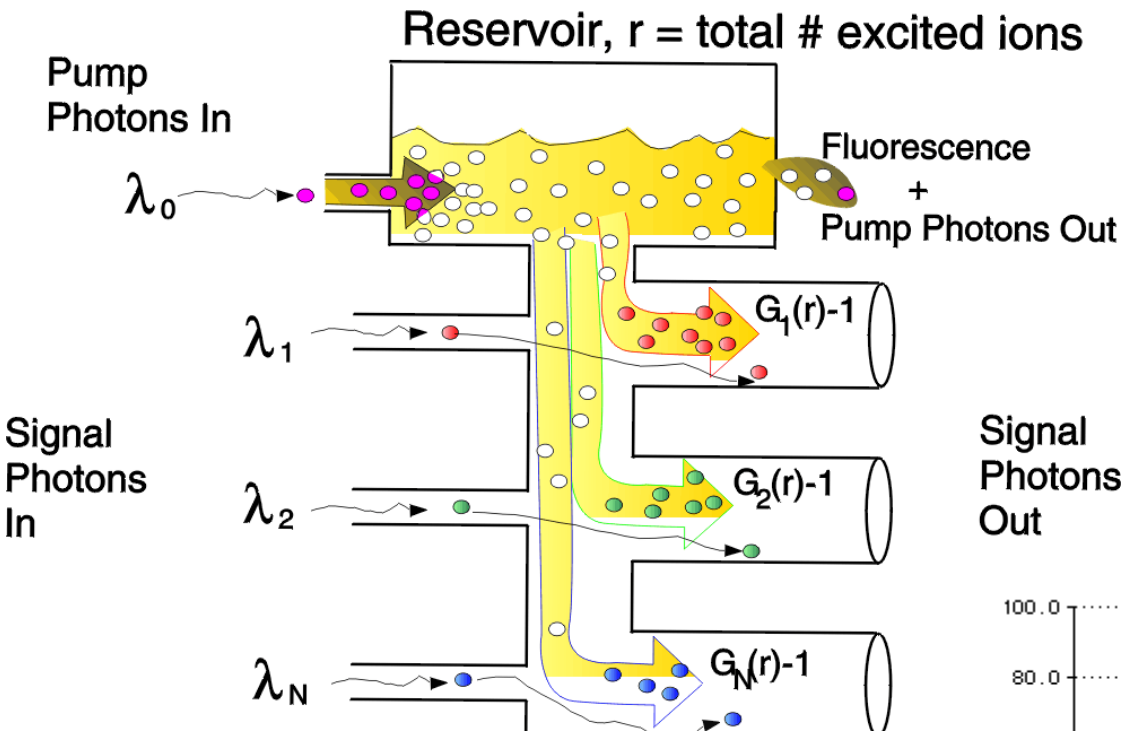


EDFA – Erbium

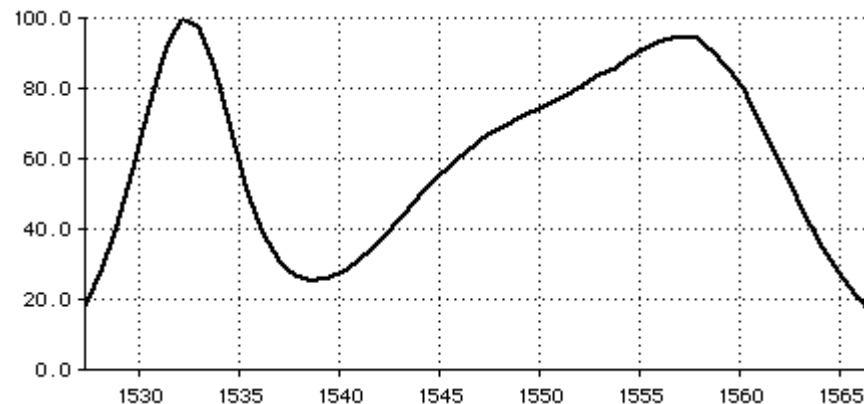


EDFA

How to think of an EDFA

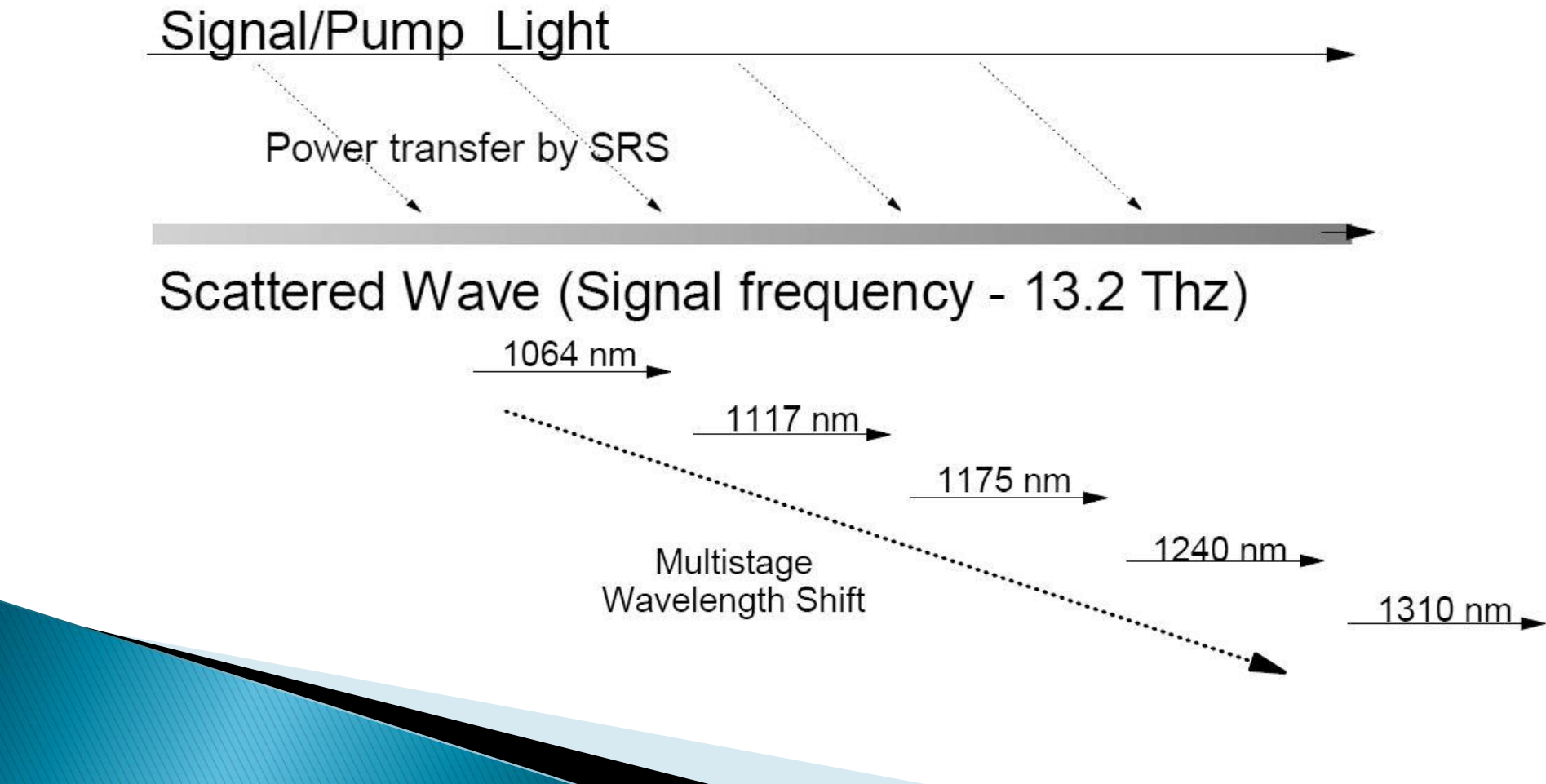


Signal
Photons
Out

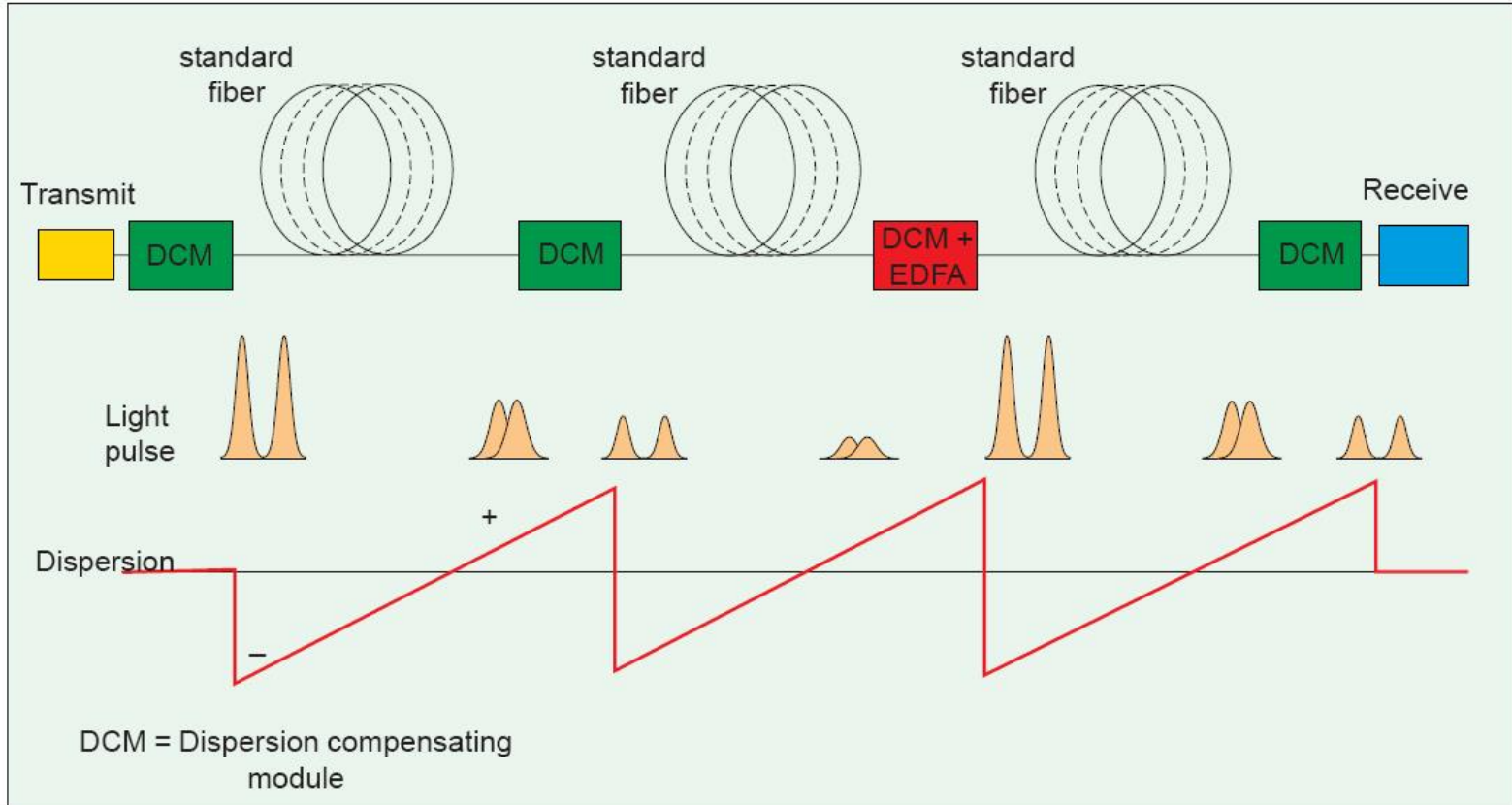


Amplificator cu efect Raman

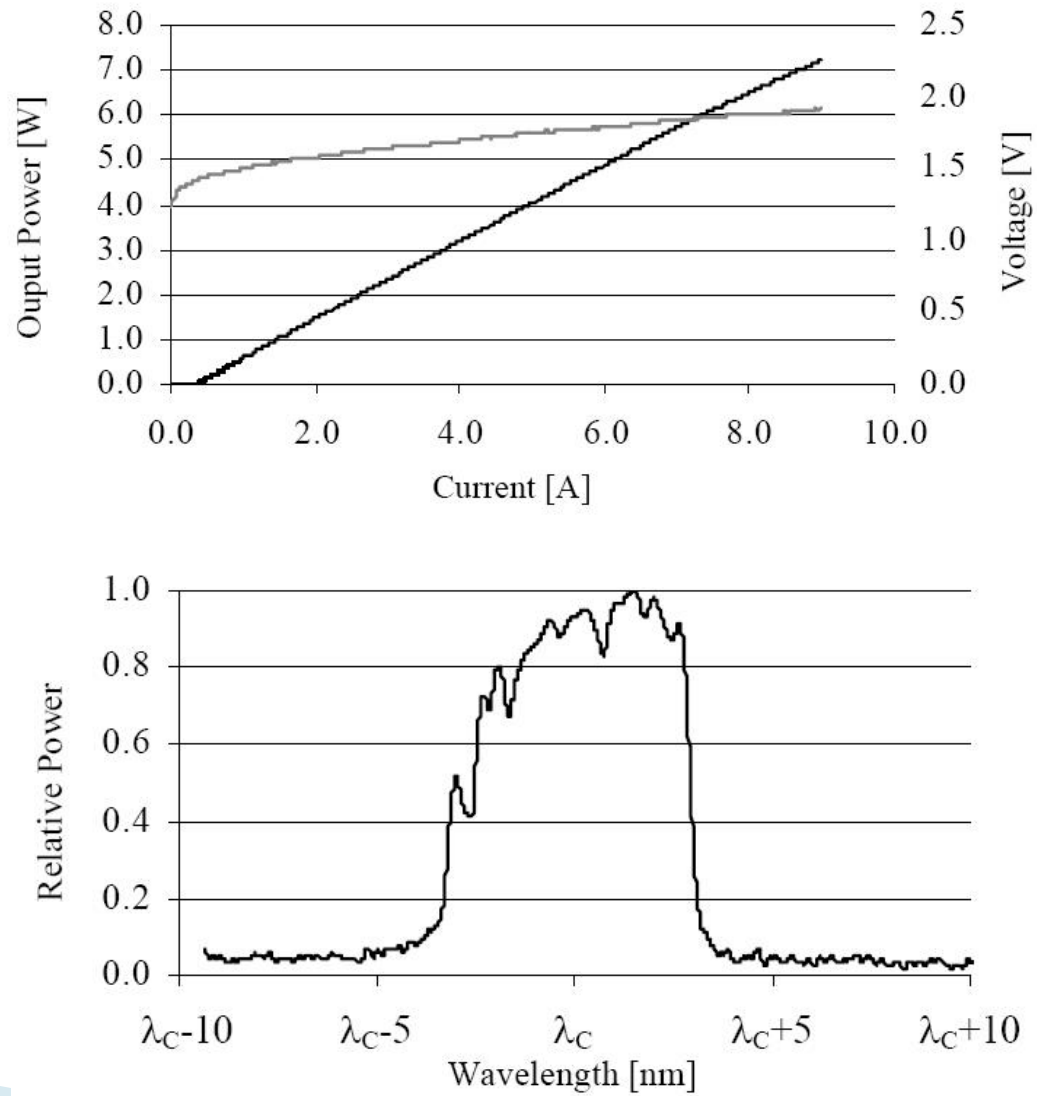
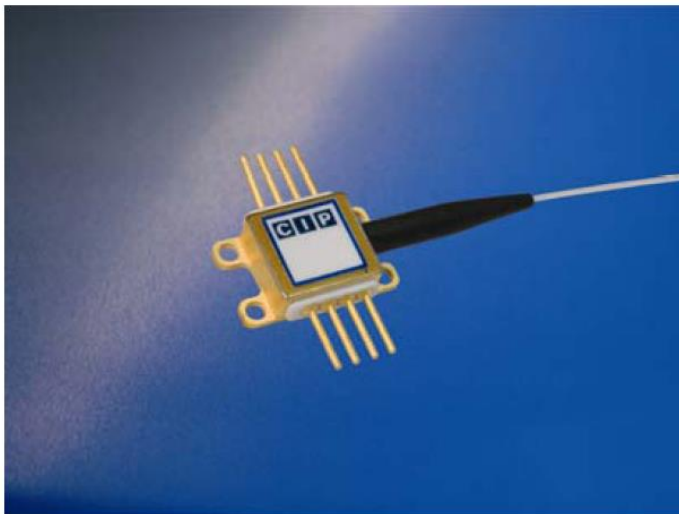
▶ Bazat pe efect Raman



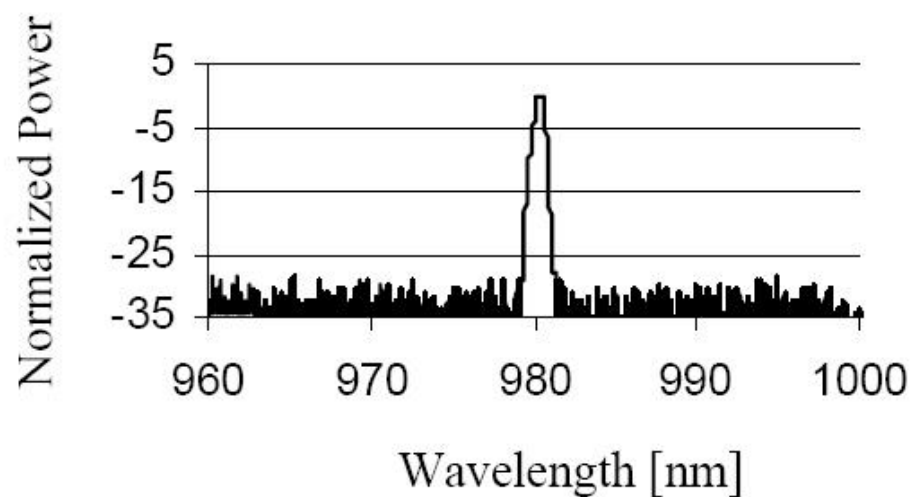
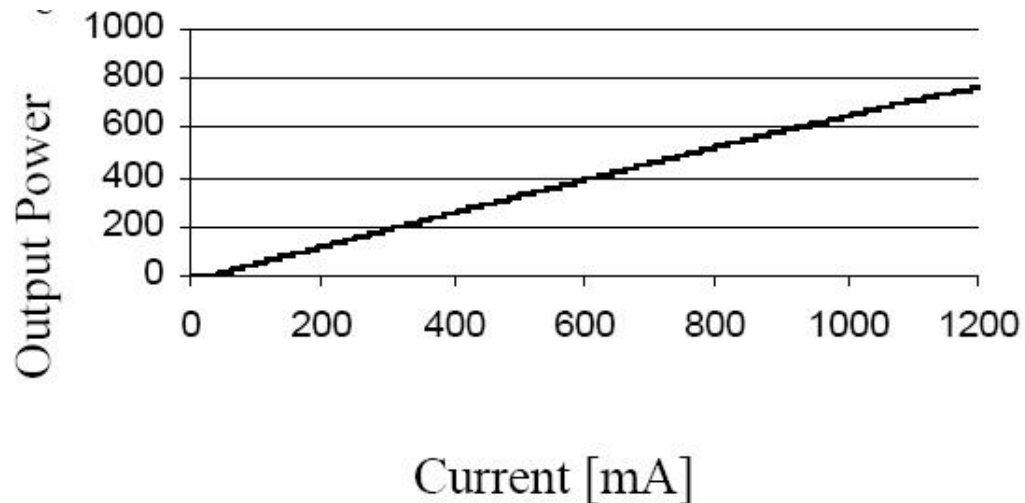
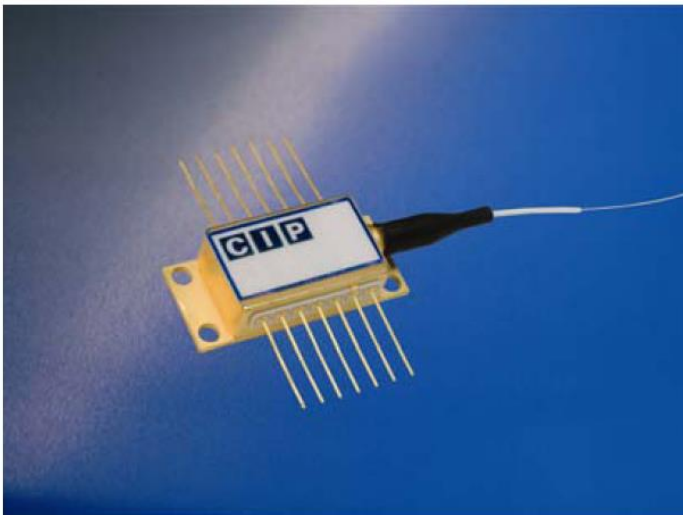
Utilizare amplificatoare optice



7W 980 nm Multimode Pump Laser

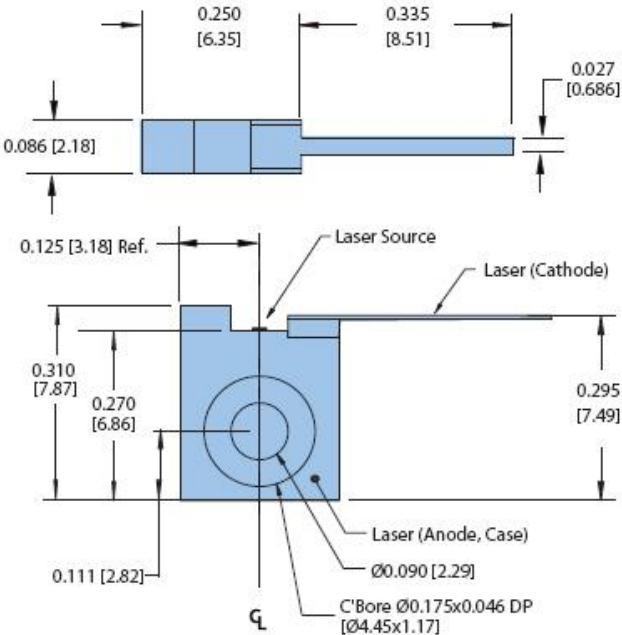


600mW 980 nm Singlemode Pump Laser

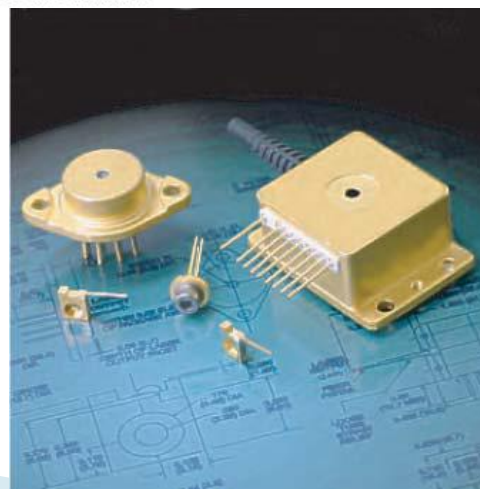
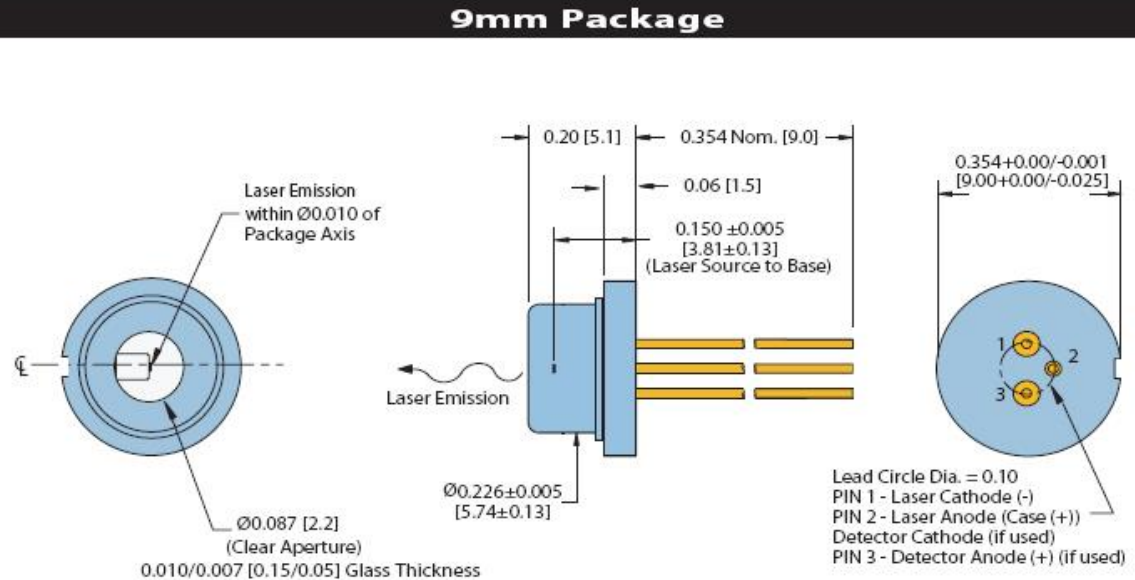


6 W, CW, 800nm

C-Mount Package

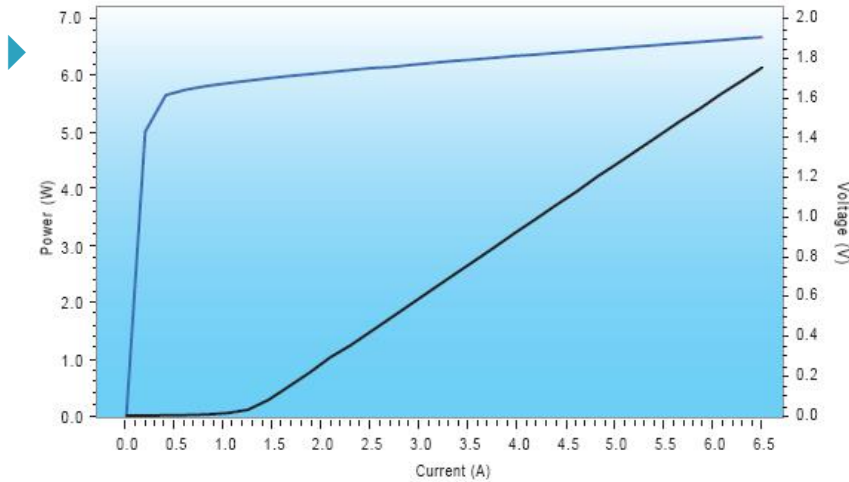


9mm Package

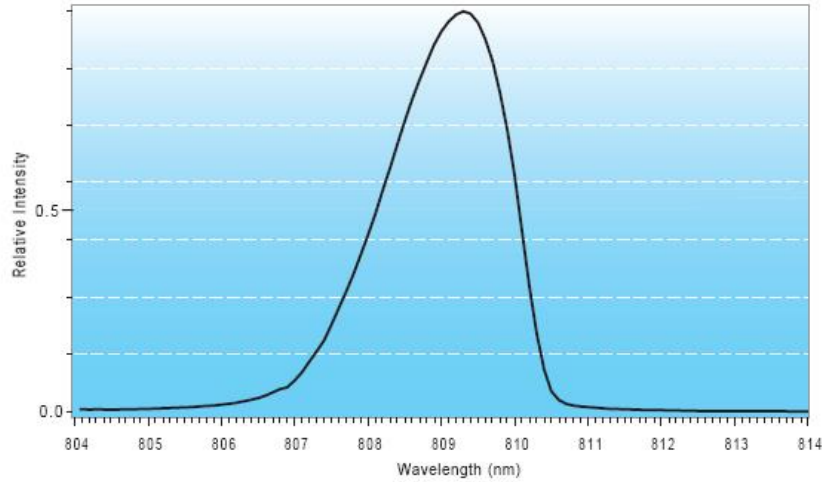


6 W, CW, 800nm

Typical L/I, V/I Graph

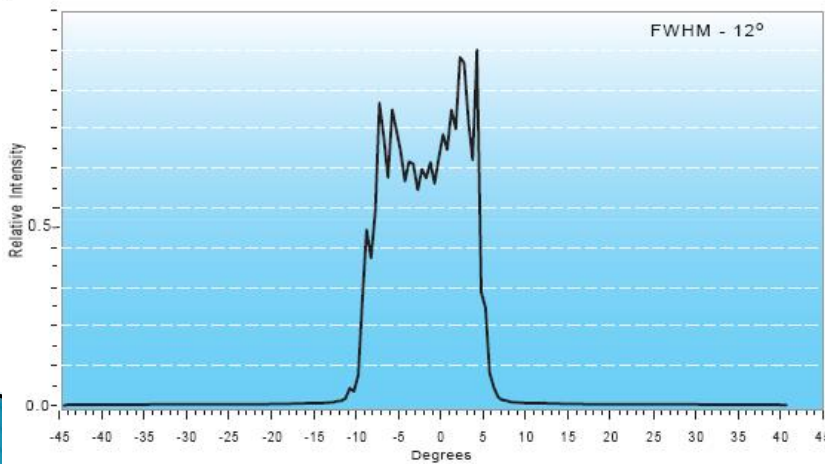


Wavelength Distribution



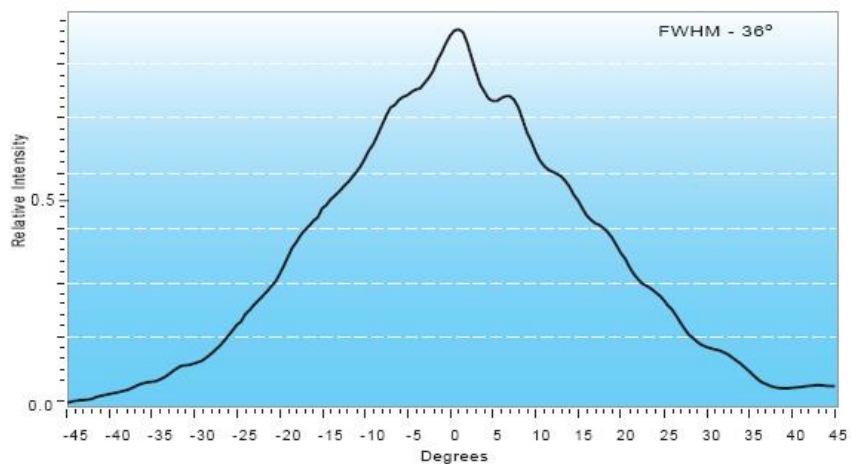
Typical Beam Divergence

Parallel

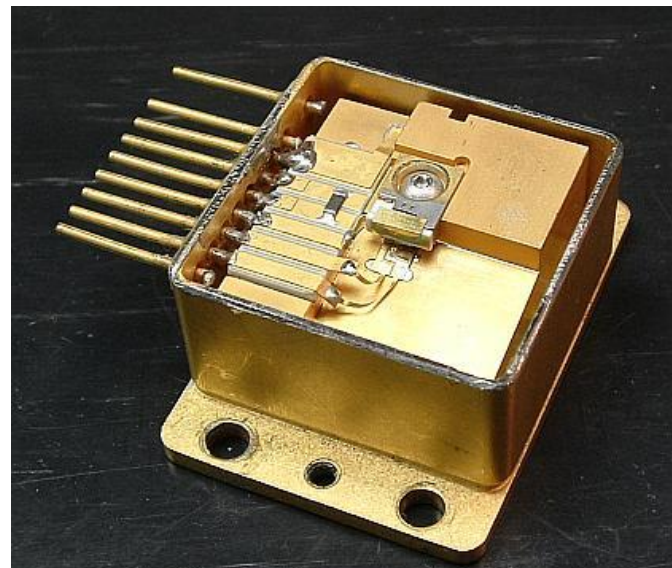
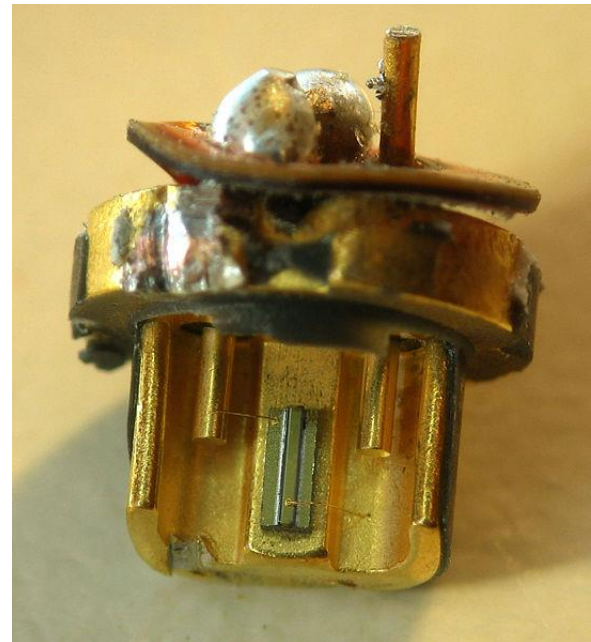
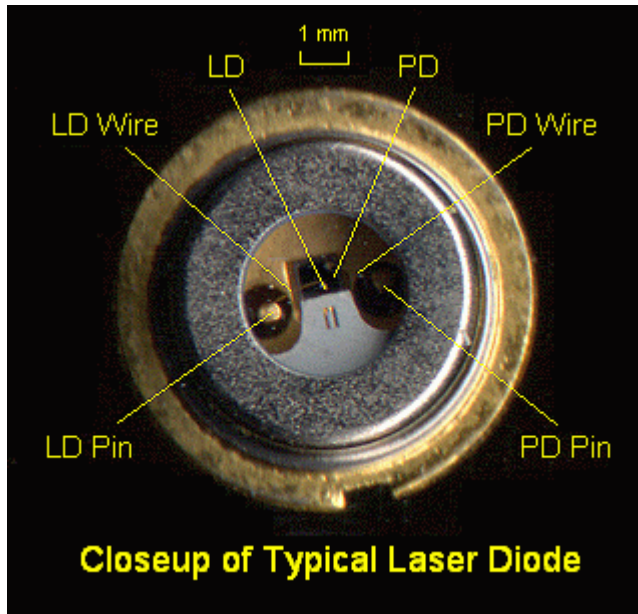


Typical Beam Divergence

Perpendicular



CW Laser, 650 nm



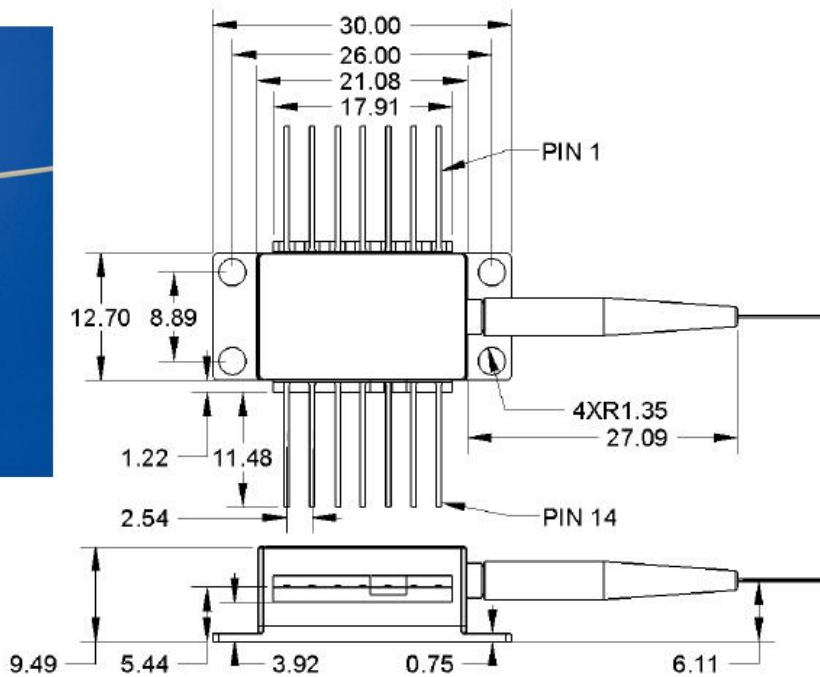
Lungimi de unda

- ▶ **405 nm** – InGaN blue–violet laser, in Blu–ray Disc and HD DVD drives
- ▶ **445–465 nm** – InGaN blue laser multimode diode recently introduced (2010) for use in mercury–free high–brightness data projectors
- ▶ **510–525 nm** – Green diodes recently (2010) developed by Nichia and OSRAM for laser projectors.
- ▶ **635 nm** – AlGaInP better red laser pointers, same power subjectively twice as bright as 650 nm
- ▶ **650–660 nm** – GaInP/AlGaInP CDDVD, cheap red laser pointers
- ▶ **670 nm** – AlGaInP bar code readers, first diode laser pointers (now obsolete, replaced by brighter 650 nm and 671 nm DPSS)
- ▶ **760 nm** – AlGaInP gas sensing: O₂
- ▶ **785 nm** – GaAlAs Compact Disc drives
- ▶ **808 nm** – GaAlAs pumps in DPSS Nd:YAG lasers (e.g., in green laser pointers or as arrays in higher–powered lasers)
- ▶ **848 nm** – laser mice
- ▶ **980 nm** – InGaAs pump for optical amplifiers, for Yb:YAG DPSS lasers
- ▶ **1,064 nm** – AlGaAs fiber–optic communication, DPSS laser pump frequency
- ▶ **1,310 nm** – InGaAsP, InGaAsN fiber–optic communication
- ▶ **1,480 nm** – InGaAsP pump for optical amplifiers
- ▶ **1,512 nm** – InGaAsP gas sensing: NH₃
- ▶ **1,550 nm** – InGaAsP, InGaAsNSb fiber–optic communication
- ▶ **1,625 nm** – InGaAsP fiber–optic communication, service channel
- ▶ **1,654 nm** – InGaAsP gas sensing: CH₄
- ▶ **1,877 nm** – GaInAsSb gas sensing: H₂O
- ▶ **2,004 nm** – GaInAsSb gas sensing: CO₂
- ▶ **2,330 nm** – GaInAsSb gas sensing: CO
- ▶ **2,680 nm** – GaInAsSb gas sensing: CO₂
- ▶ **3,030 nm** – GaInAsSb gas sensing: C₂H₂
- ▶ **3,330 nm** – GaInAsSb gas sensing: CH₄

1550nm DFB Laser

Mechanical Drawing

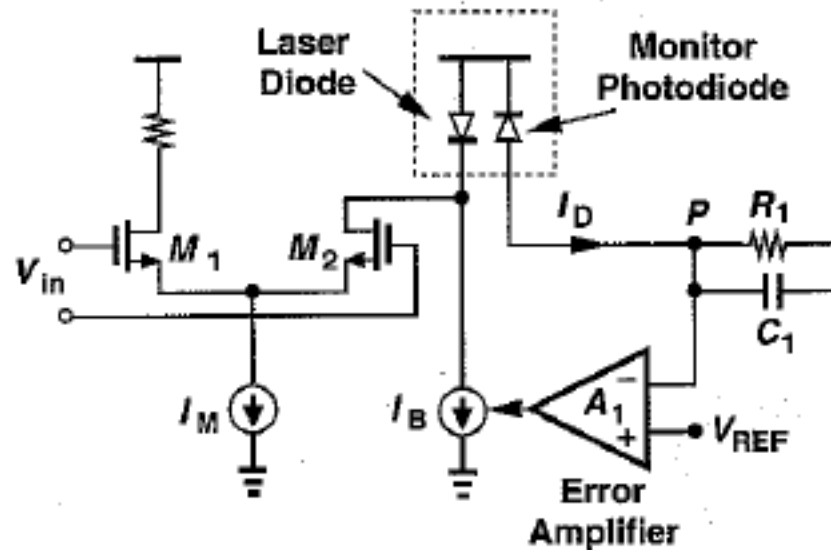
All units in mm



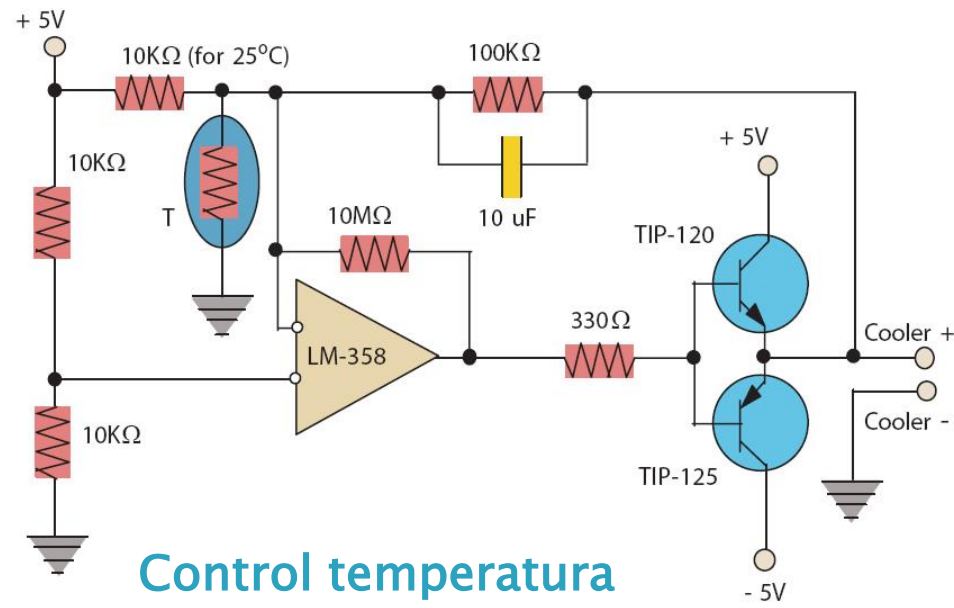
Pin out

Pin	Description
1	Thermistor
2	Thermistor
3	Laser Cathode (Bias)
4	Monitor PD Anode
5	Monitor PD Cathode
6	TEC +
7	TEC -
8	Case GND, Laser Anode
9	Case GND, Laser Anode
10	Case GND, Laser Anode
11	Case GND, Laser Anode
12	Laser Cathode (modulation)
13	Case GND, Laser Anode
14	Case GND, Laser Anode

Control dioda LASER



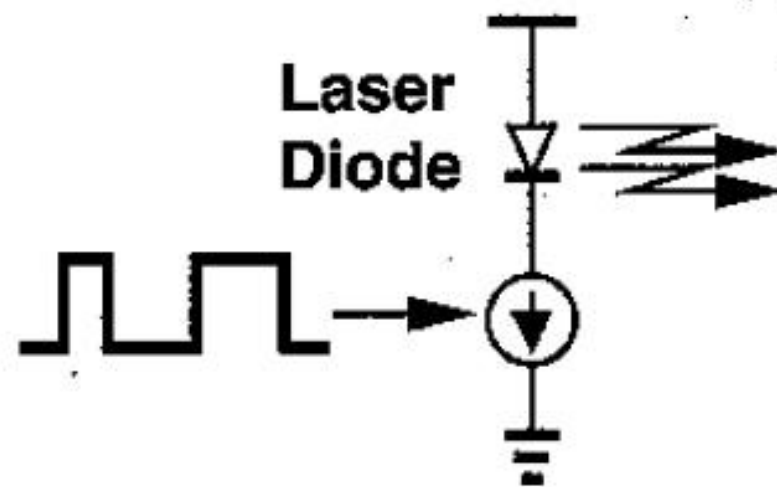
Control putere optica



Control temperatura

Dioda LASER

- ▶ Ca si in cazul LED, pentru DL intensitatea luminoasa emisa este o functie de curentul prin dioda
 - aproape exclusiv, DL sunt controlate in curent
 - controlul in curent are avantajul unei viteze mai mari de lucru



Dioda LASER

- ▶ Cerinte pentru driver-ele de diode laser
 - viteza mare de basculare pentru minimizarea interferentei intersimbol
 - curent mare de iesire
 - capacitatea de a rezista la variatiile de tensiune pe dioda Laser
- ▶ Cerintele sunt dificil de respectat deoarece sunt contradictorii
 - viteza mare presupune micsorarea dimensiunii componentelor
 - micsorarea dimensiunii
 - scade tensiunea de strapungere
 - scade capacitatea de curent/putere disipata

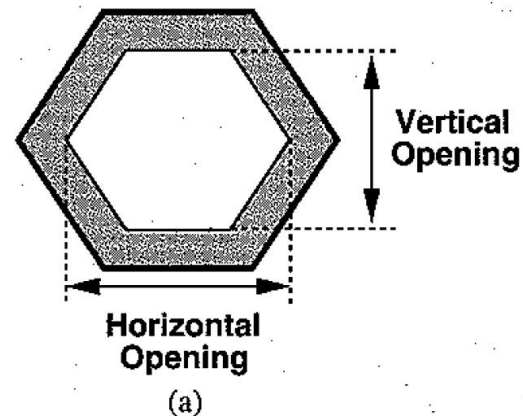
Caracteristici driver-e DL

▶ Viteza

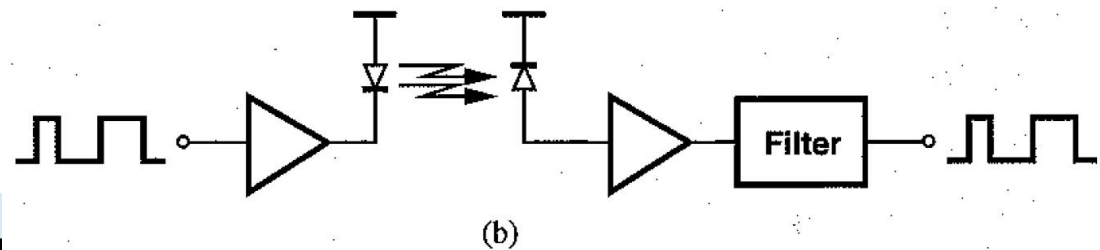
- caracterizata de timpii de crestere si de cadere
- suma acestora trebuie sa fie mult mai mica decat perioada de bit la viteza nominala de lucru

▶ Testarea vitezei de lucru

- standardizata
- “eye diagram”



(a)

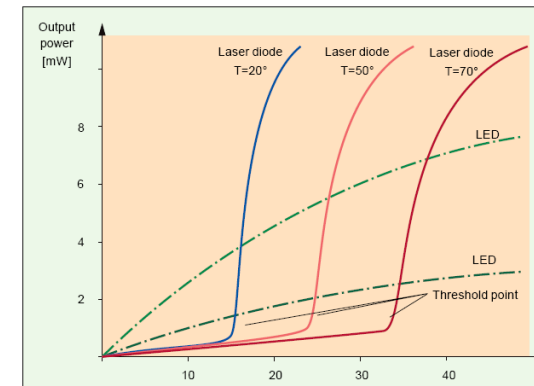


(b)

Caracteristici driver-e DL

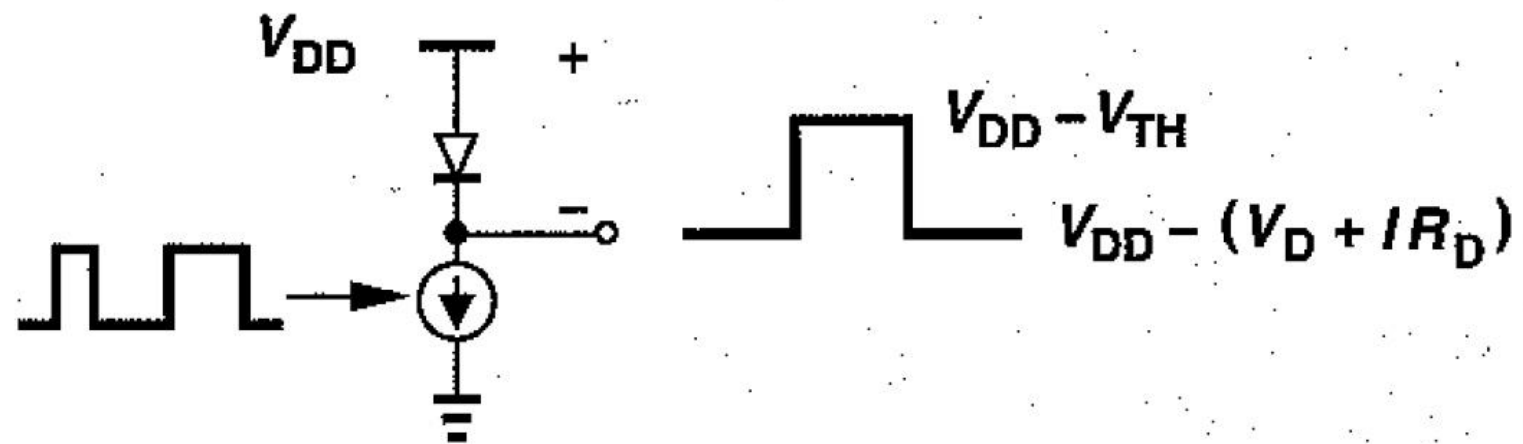
▶ Curent de iesire

- laserele trebuie polarizate in vecinatatea pragului, astfel incat o mica variatie de curent sa poata deschide dioda
- driver-ele de DL trebuie sa poata furniza:
 - un curent de “polarizare”
 - un curent de “modulatie”
- Curentul de “polarizare” (~ de prag) variaza cu temperatura si varsta diodei extrem de mult
- Curentul de “modulatie” (semnal) nu depinde de aceste elemente deoarece pentru DL
 - pragul depinde de temperatura si varsta
 - panta este aproximativ constanta



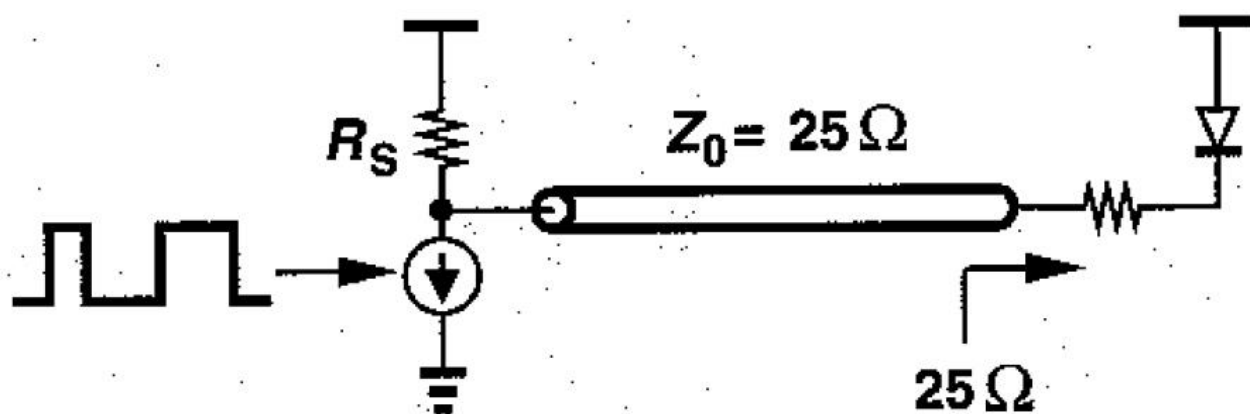
Caracteristici driver-e DL

- ▶ Variatii de tensiune pe dioda LASER
 - generate de variatiile mari de curent si rezistenta interna a diodei



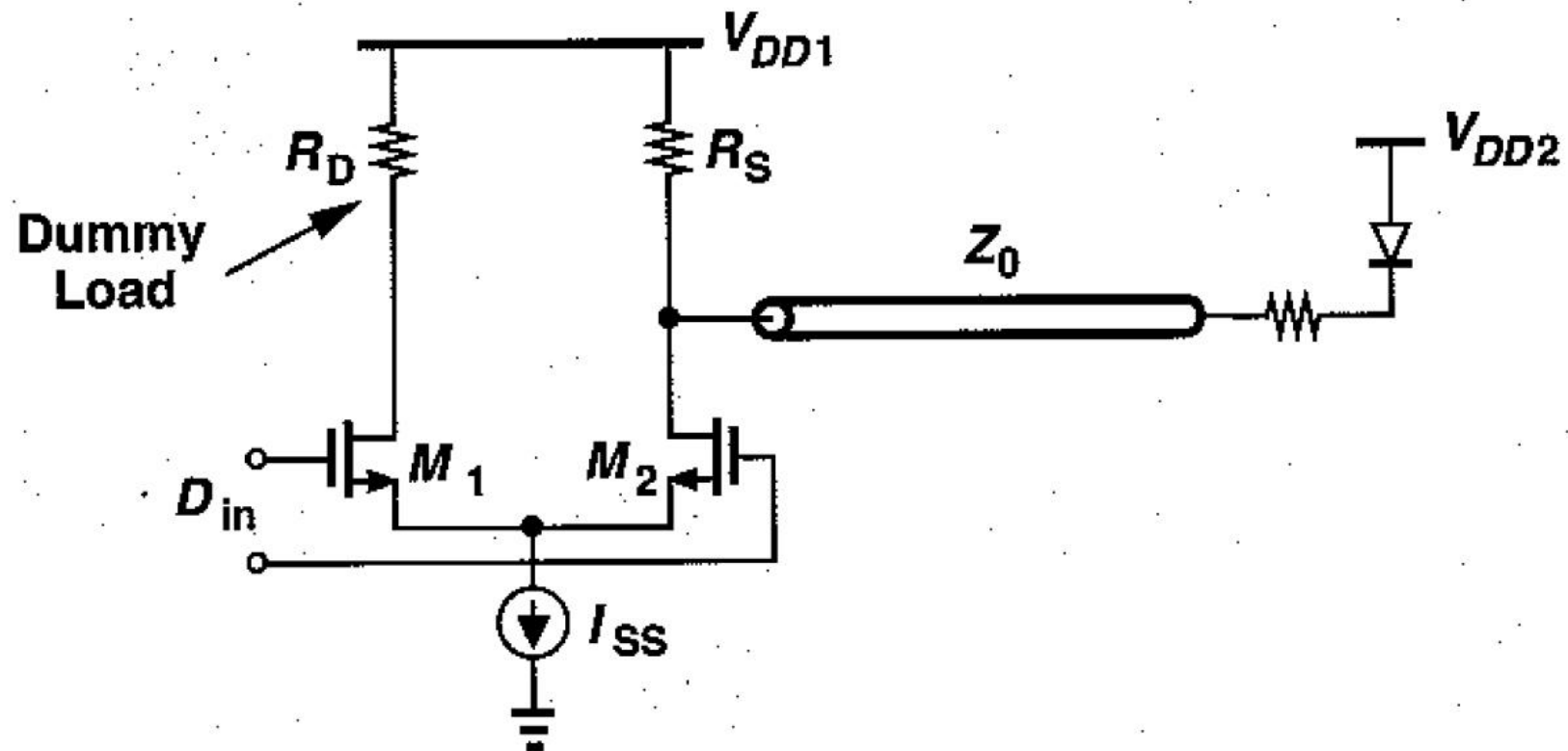
Caracteristici driver-e DL

- ▶ Impedante de intrare si iesire
- ▶ Se lucreaza la viteze mari (1Gb/s, 10Gb/s)
 - se aplica considerente de proiectare a circuitelor de microunde
 - Intrarea in amplificator are tipic o impedanta de 50Ω
 - Iesirea trebuie adaptata la impedanta diodei Laser
 - daca aceasta impedanta e prea mica, se creste la valori adecvate ($\sim 25\Omega$) prin introducerea unui rezistor in serie



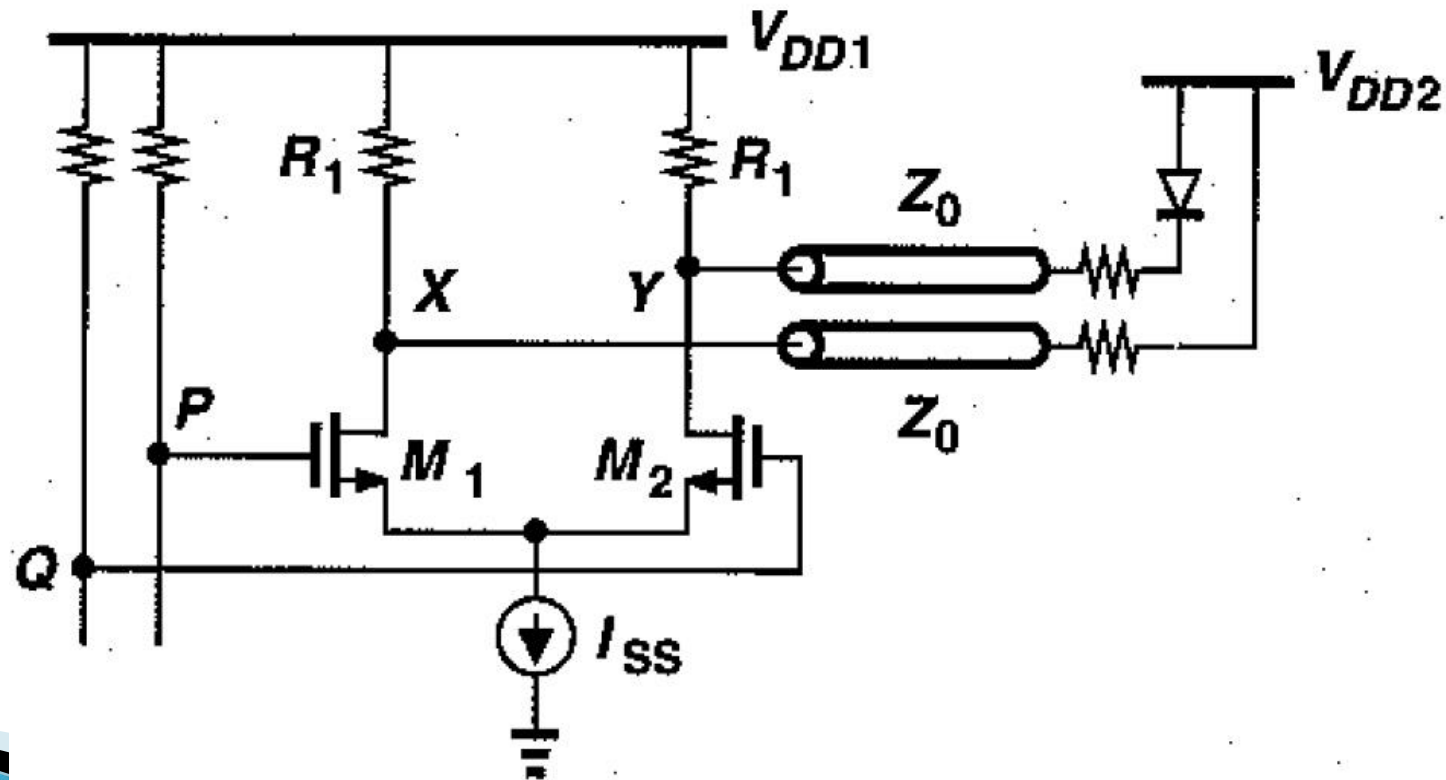
Principii de proiectare

- ▶ Tipic etajul de ieșire se realizeaza diferential



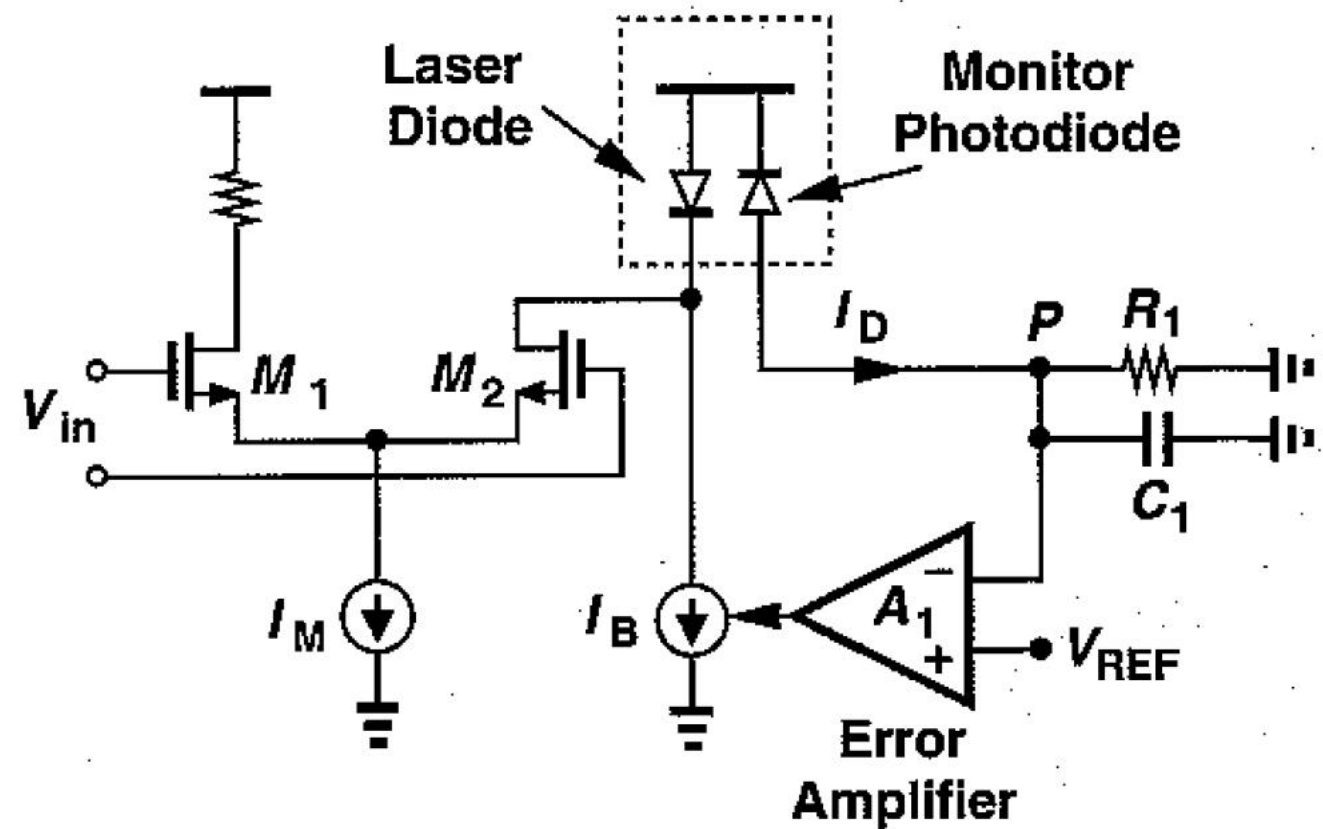
Principii de proiectare

- ▶ La viteze mari se utilizeaza tipic tranzistoare unipolare si etajul differential se realizeaza simetric



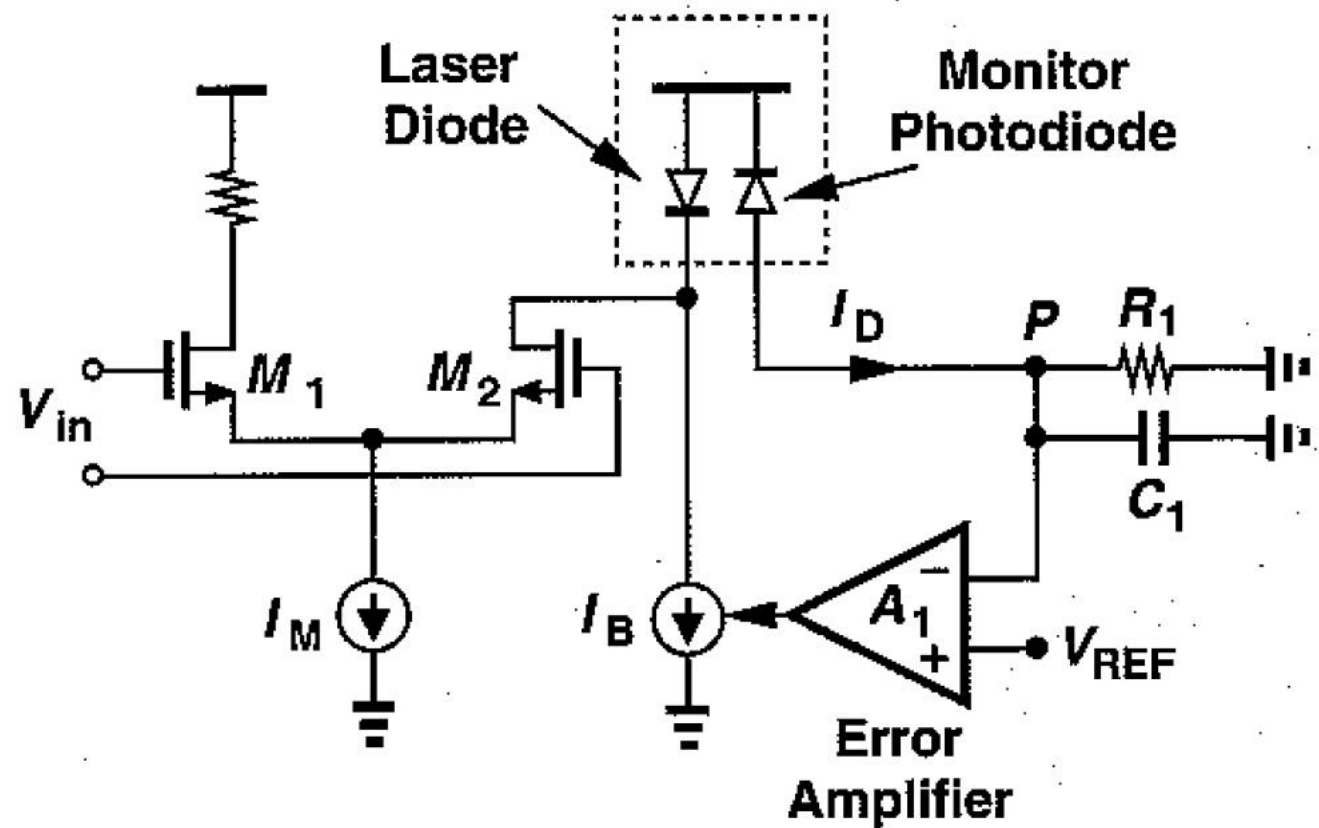
Controlul puterii în DL

- ▶ Necesar datorita variatiei curentului de “polarizare”



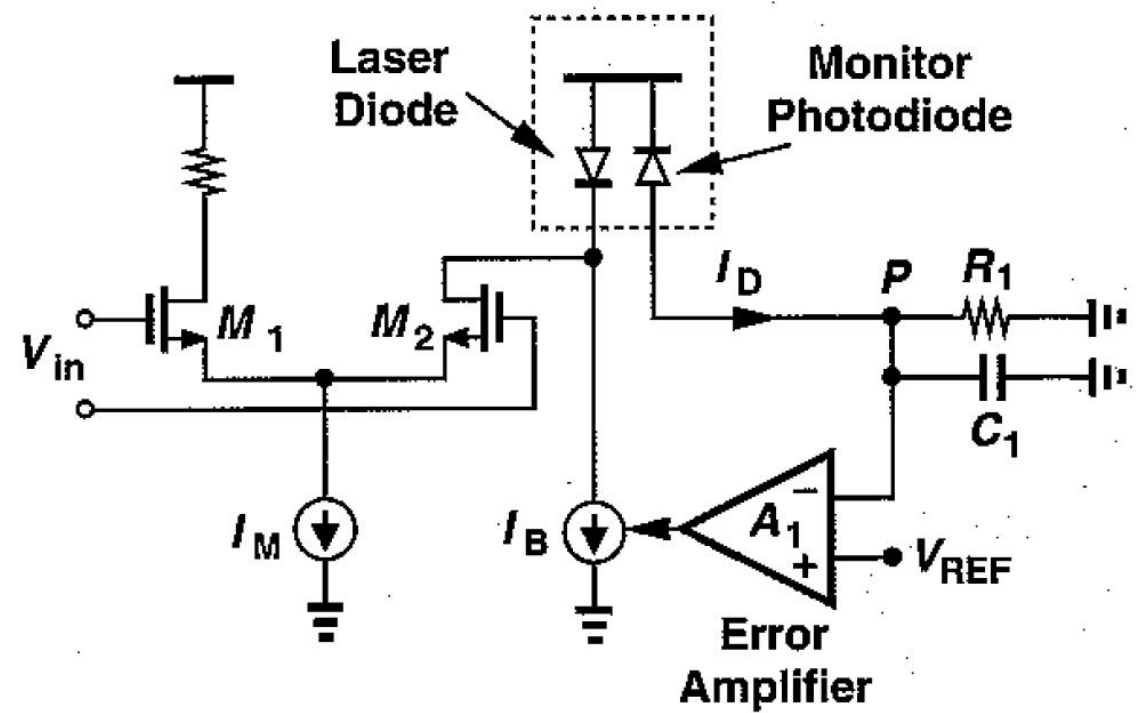
Controlul puterii în DL

- circuitul RC din schema de reglaj a curentului de polarizare realizează o filtrare trece sus a semnalului



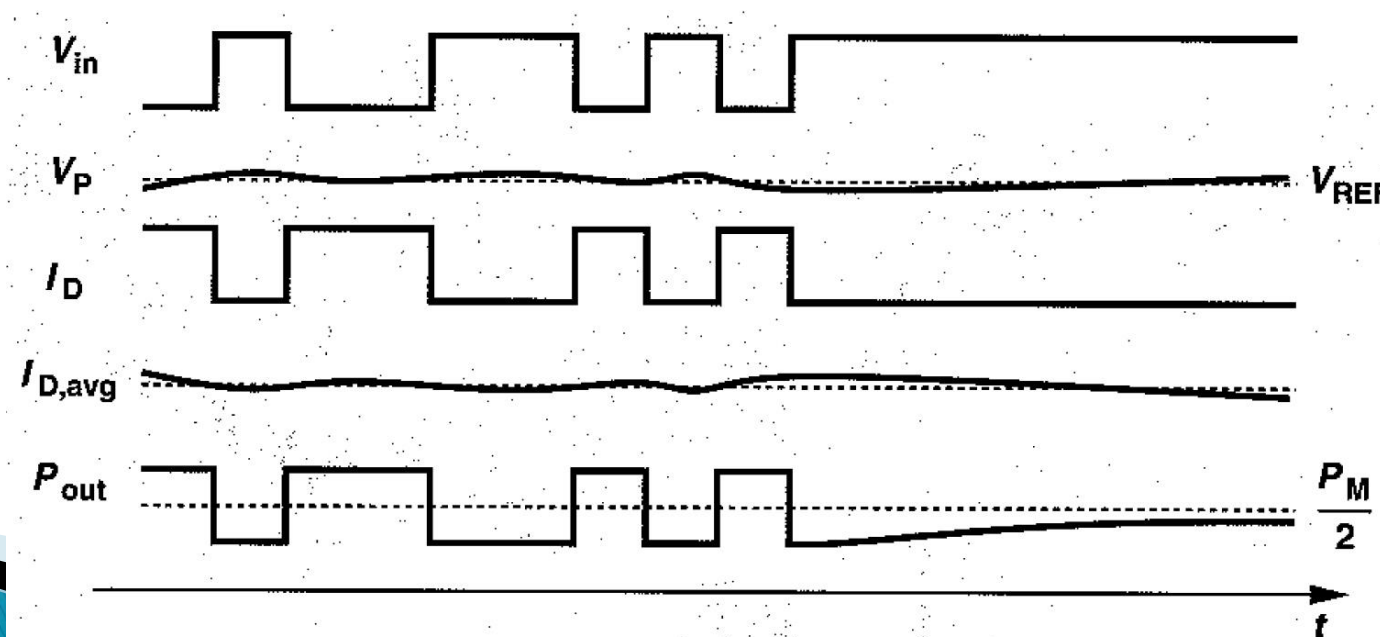
Controlul puterii in DL

- ▶ La frecvențe prea mici de lucru bucla de reacție e suficient de rapidă pentru a urmări și anula curentul de semnal



Controlul puterii in DL

- ▶ Bucla de reactie are efect si in cazul unei suite lungi de biti 1 transmisi
 - In acest caz, la limita curentul emis de dioda laser in starea OFF ajunge jumata din curentul corespunzator starii ON
 - Capacitatea de filtrare din bucla trebuie aleasa mare pentru a minimiza acest efect
 - daca valoarea e prea ridicata e necesara o capacitate externa circuitului integrat



Fotodioda

Capitolul 9

Cuprins

- ▶ **Lumina ca undă electromagnetică** (ecuațiile lui Maxwell, ecuația undelor, parametrii de propagare)
- ▶ **Elemente de fotometrie și radiometrie** (mărimi energetice/luminoase)
- ▶ **Fibra optică** (realizare, principiu de funcționare, atenuare, dispersie, banda de frecvență)
- ▶ **Cabluri optice** (tehnologie, conectori, lipire – splice)
- ▶ **Proiectare sistemică a legăturii pe fibra optică** (bandă de frecvență, balanță puterilor)
- ▶ **Emitătoare optice** (LED și dioda laser – realizare fizică și funcționare)
- ▶ **Receptoare optice** (dioda PIN, dioda cu avalanșă – realizare fizică și funcționare)
- ▶ **Amplificatoare transimpedanță** (parametri, scheme tipice, TIA în buclă deschisă, cu reacție, diferențiale, control automat al câștigului)
- ▶ **Realizarea circuitelor pentru controlul emițătoarelor optice** (parametri, scheme tipice, controlul puterii, multiplexoare)
- ▶ **Dispozitive de captare a energiei solare** (principiu de funcționare, utilizare, proiectare)

Detectori optici

► Cerinte

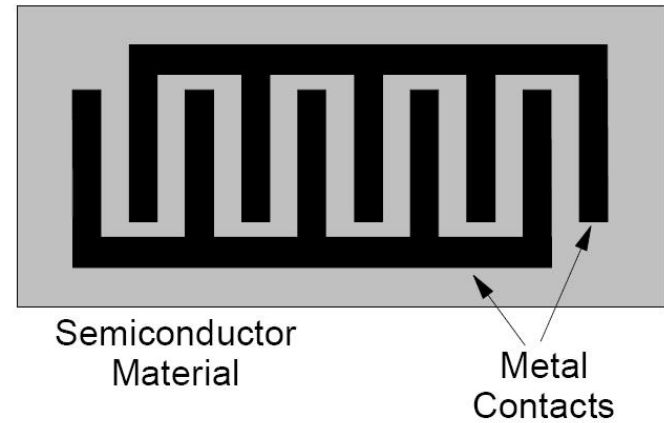
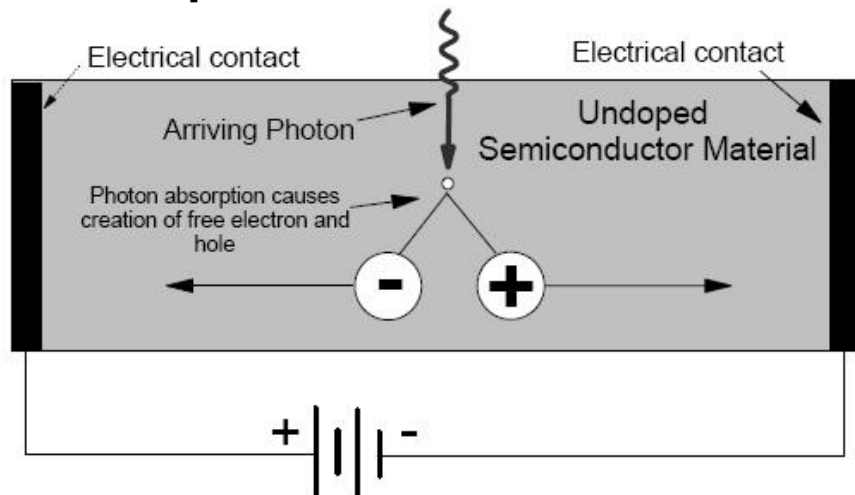
- eficienta crescuta a conversiei optic/electric
- zgomot redus
- raspuns uniform la diferite lungimi de unda
- viteza de raspuns ridicata
- liniaritate

► Principii de operare

- fotoconductori $R = R(P_o)$
- fototranzistori $I_B = I_B(P_o)$
- fotodiode $I = I(P_o)$
 - pn
 - pin
 - pin cu multiplicare in avalansa
 - Schottky

Fotoconductori

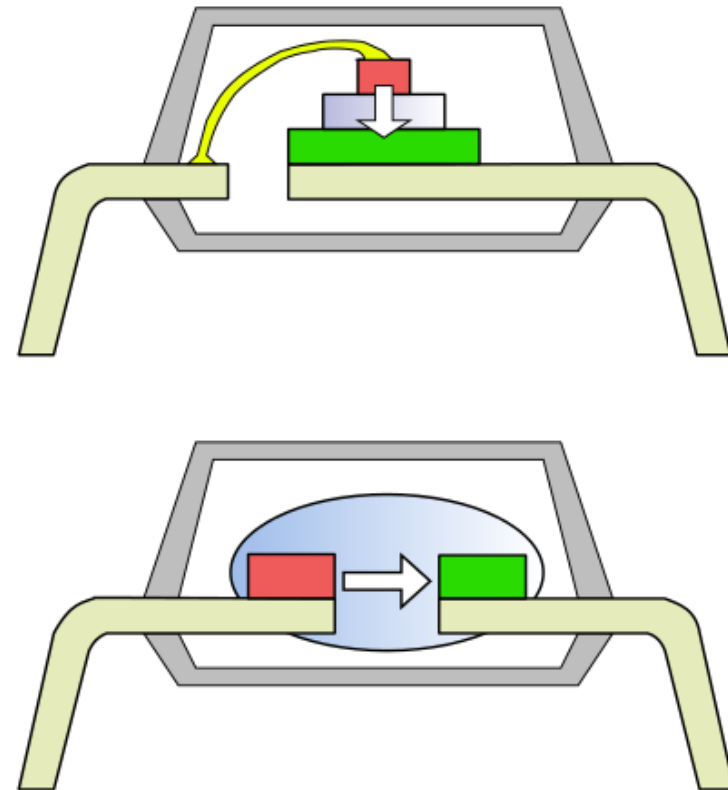
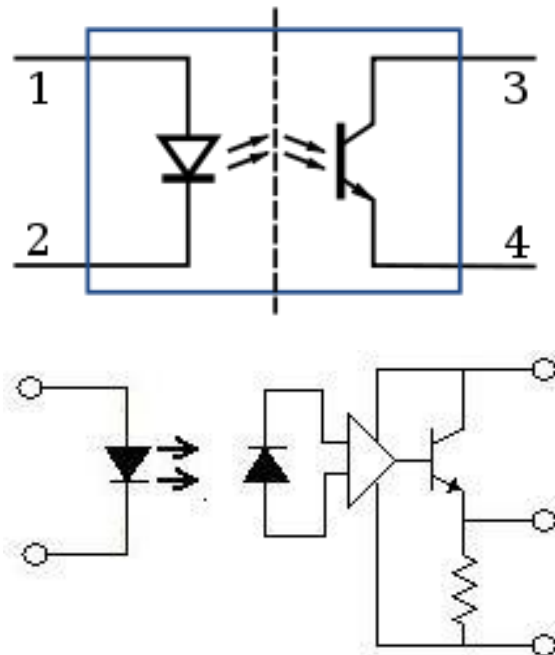
▶ Principiu



- ▶ Dispozitive Metal Semiconductor Metal (filtru interdigital) sunt utilizate pentru usurinta de fabricare si integrare in aplicatii mai putin pretentioase

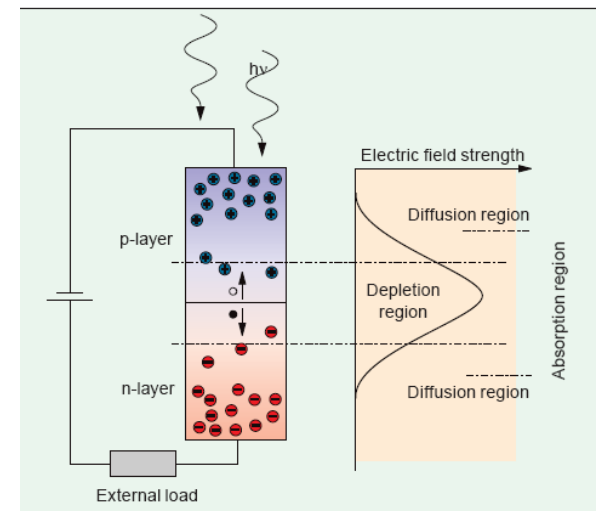
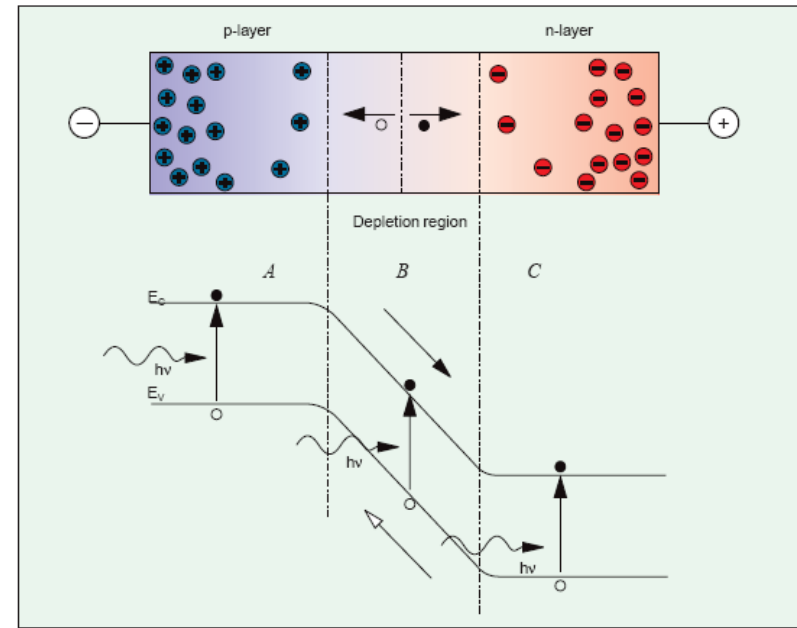
Optocuploare

- ▶ utilizate pentru a oferi izolare electrica intre doua sectiuni ale unui circuit
 - izolarea portiunii de comanda si/sau masura de partea de “forta” a circuitului



Fotodioda – Principiul de operare

- ▶ Jonctiunea pn este polarizata invers
- ▶ Lumina este absorbita in regiunea golita de purtatori, un foton absorbit generand o pereche electron-gol
- ▶ Sarcinile sunt separate de campul electric existent in regiunea golita si genereaza un curent in circuitul exterior



Fotodioda – Principiul de operare

- ▶ Energia necesara pentru eliberarea unei perechi electron gol

$$h\nu = \frac{hc}{\lambda} \geq E_g$$

- ▶ Lungime de unda de taiere

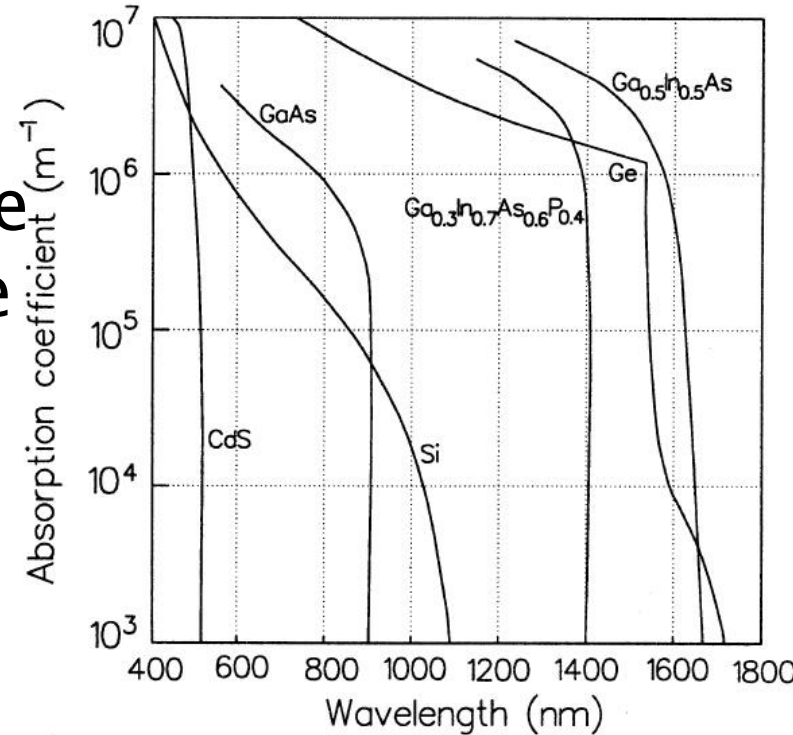
$$\lambda_{\max} = \frac{hc}{E_g}$$

- ▶ Puterea optica absorbita in zona golita de purtatori (w) aflata la o adincime d in interiorul dispozitivului

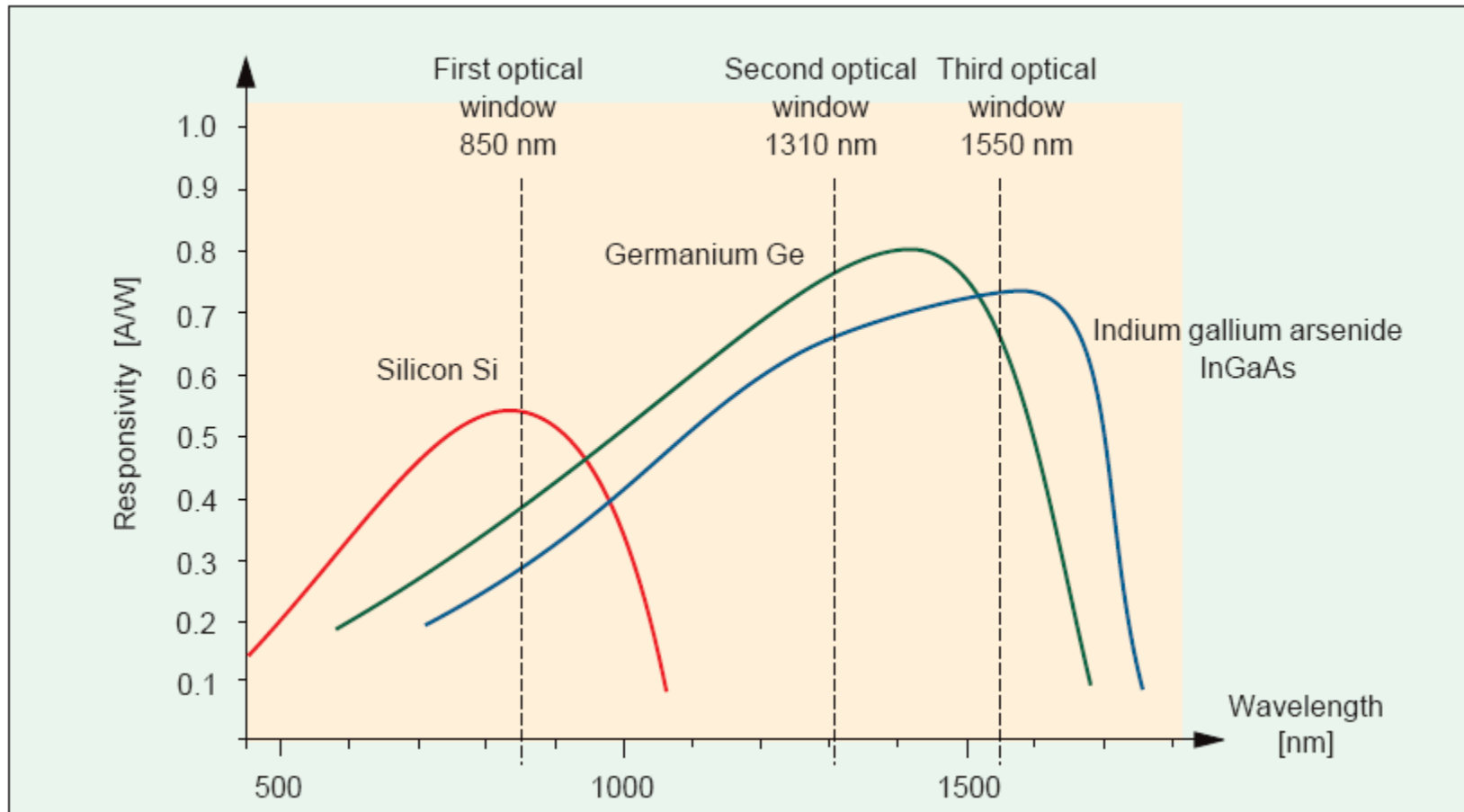
$$P(w) = P_i \cdot e^{-\alpha \cdot d} \cdot (1 - e^{-\alpha \cdot w}) \cdot (1 - R_f)$$

Fotodioda – Principiul de operare

- ▶ Coeficientul de absorbtie pentru materialele uzuale
- ▶ Valoarea mare a coeficientului de absorbtie la lungimi de unda reduse implica scaderea rezponsivitatii
- ▶ Ca urmare comportarea **tuturor** materialelor este de tip trece banda



Materiale utilizate pentru fotodiode



Fotodioda – Marimi caracteristice

- ▶ Eficiența cuantica – raportul dintre numărul de perechi electron–gol generate și numărul de fotoni incidenti

$$\eta = \frac{n_e}{n_f}$$

- ▶ În unitatea de timp numărul de fotoni depinde de puterea optică, iar numărul de electroni impune curentul generat

$$\eta = \frac{I/e}{P/h\nu}$$

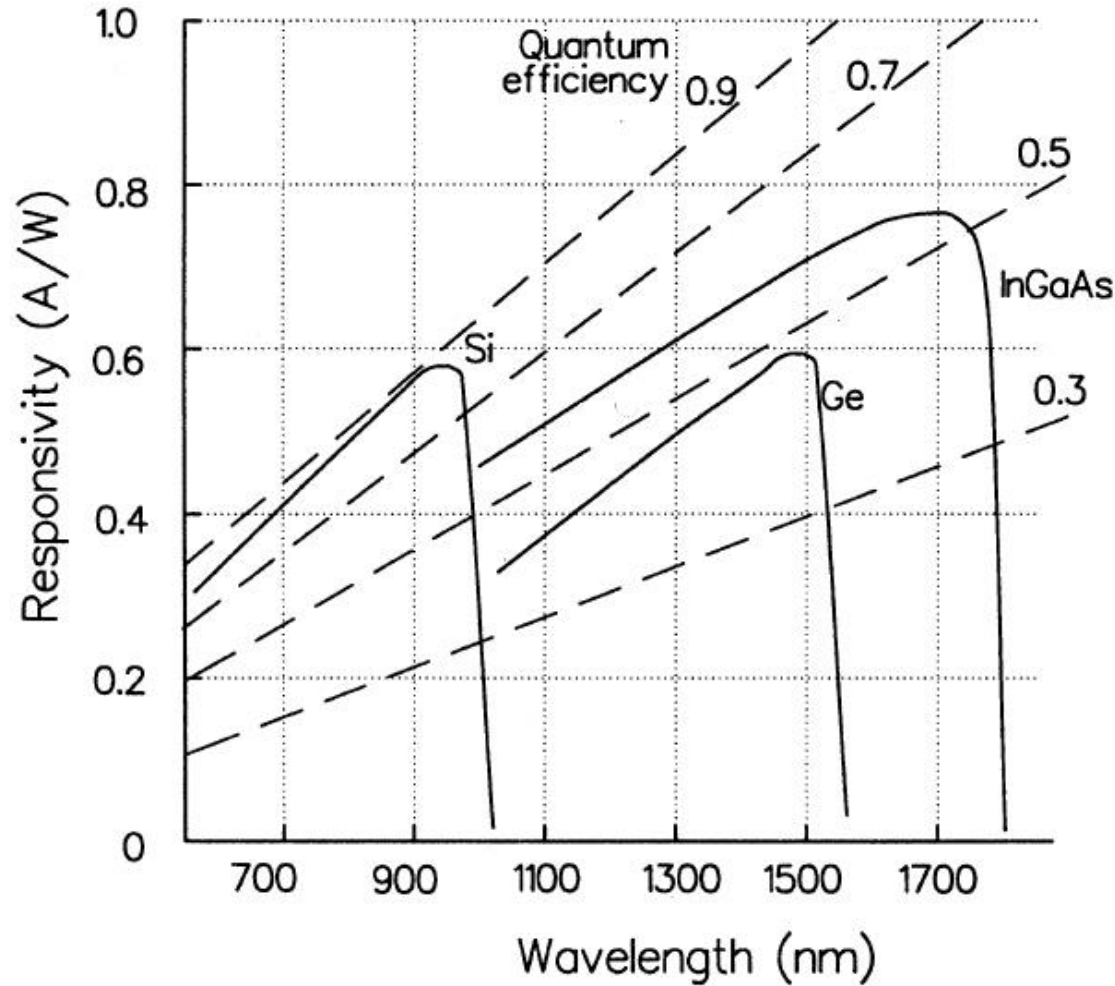
- ▶ Rezonanța

$$R = \frac{I}{P_o} = \frac{\eta \cdot e \cdot \lambda}{hc}$$

$$R = 0.8 \cdot \eta \cdot \lambda [\mu m] \quad \left[\frac{A}{W} \right]$$

Fotodiode - marimi karakteristice

$$R = \frac{I}{P_o} = \eta \cdot \frac{e}{hc} \cdot \lambda$$



Materiale utilizate pentru fotodiode

Material	λ [μm]	Responsivitate [A/W]	Viteza [ns]	Curent de intuneric
Si	0.85	0.55	3	1
Si	0.65	0.4	3	1
InGaAs	1.3–1.6	0.95	0.2	3
Ge	1.55	0.9	3	66

- Dezavantajul major pentru Ge este curentul de intuneric mare

Material	Eg (eV)
GaAs	1.43
GaSb	0.73
GaAs _{0.88} Sb _{0.12}	1.15
Ge	0.67
InAs	0.35
InP	1.35
In _{0.53} Ga _{0.47} As	0.75
In _{0.14} Ga _{0.86} As	1.15
Si	1.14

Current de intuneric

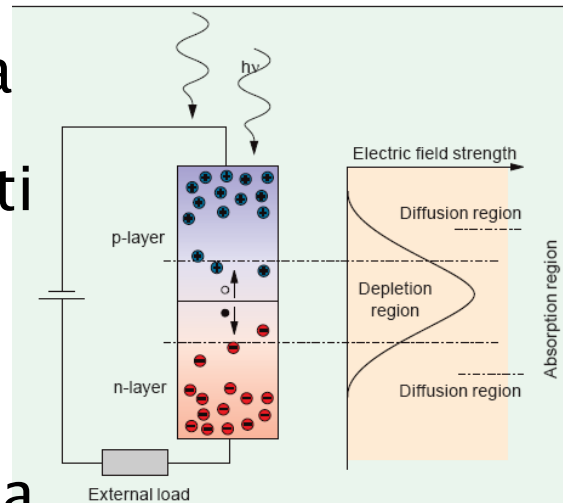
- ▶ Currentul invers al jonctiunii p–n, datorat agitatiei termice, prezent in absenta iluminarii
- ▶ Constituie o importanta sursa de zgomot (limiteaza aplicatiile Ge)

$$I_D = I_S \approx \frac{\beta \cdot kT}{eR_0}$$

- β – coeficient de idealitate $\beta = 1 \div 2$
- R_0 – rezistenta la intuneric a diodei (invers proportionala cu aria diodei)

Fotodioda PIN

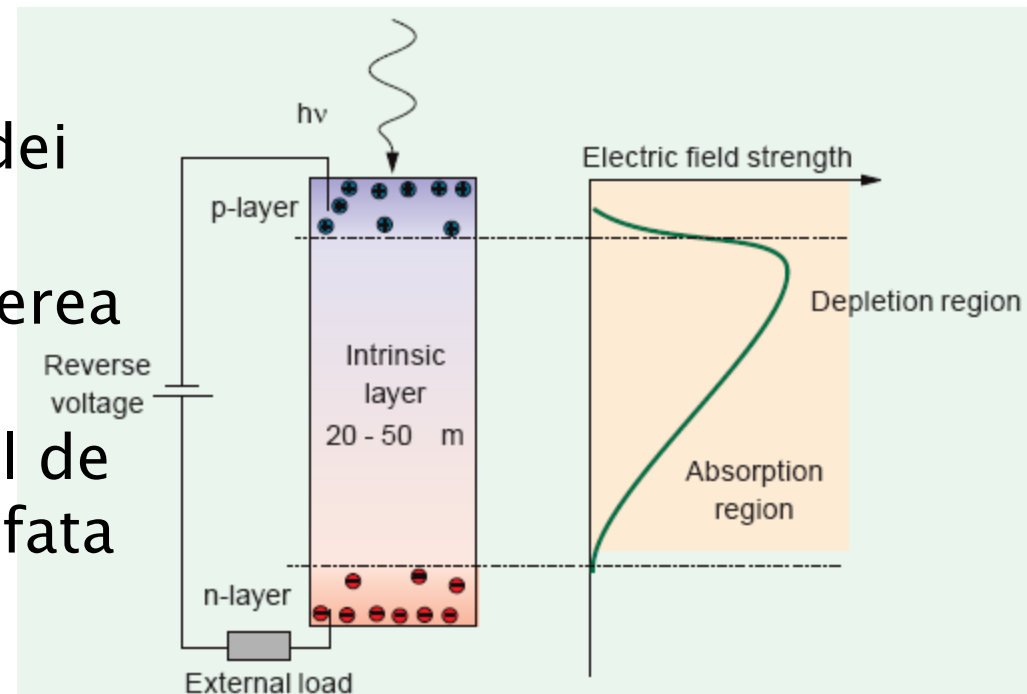
- ▶ Existenta campului electric in regiunea golita de purtatori face ca eventualii purtatori generati optic sa fie accelerati spre terminale pentru constituirea photocurentului
- ▶ Problemele utilizarii diodei pn polarizate invers ca fotodetector sunt generate de adancimea extrem de mica a zonei golite (w)
- ▶ Puterea optica absorbita in interiorul acestei zone e in consecinta redusa
- ▶ Purtatorii generati inafara zonei de golire ajung eventual in zona golita si vor fi accelerati spre terminale, dar viteza fenomenului este prea redusa pentru aplicatii in comunicatii



$$P(w) = P_i \cdot e^{-\alpha \cdot d} \cdot (1 - e^{-\alpha \cdot w}) \cdot (1 - R_f)$$

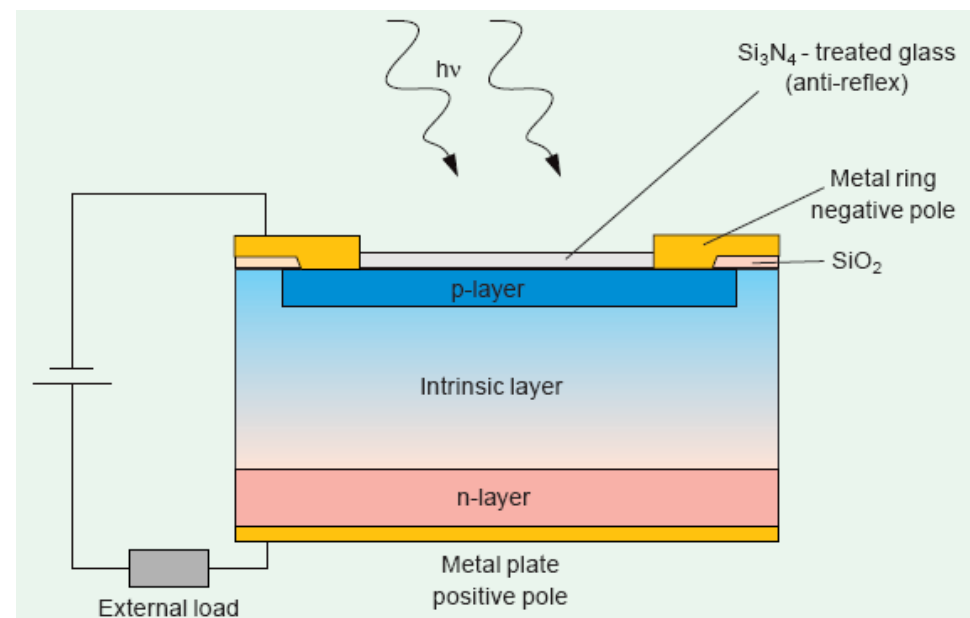
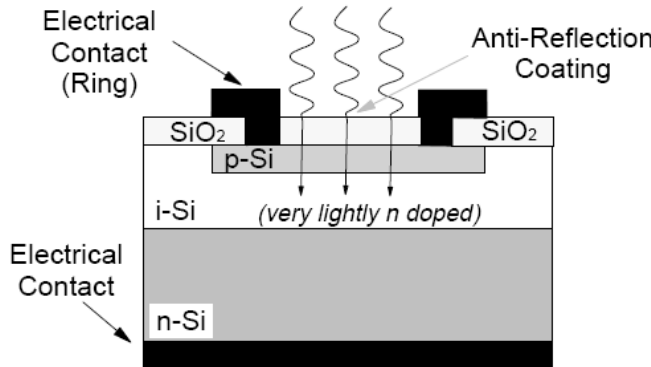
Fotodioda PIN

- ▶ Solutia consta in introducerea unui strat foarte slab dopat (intrinsec) intre cele doua zone ale diodei
 - creste volumul de absorbtie deci creste sensibilitatea fotodiodei
 - capacitatea jonctiunii scade ducand la cresterea vitezei
 - este favorizat curentul de conductie (mai rapid) fata de cel de difuzie



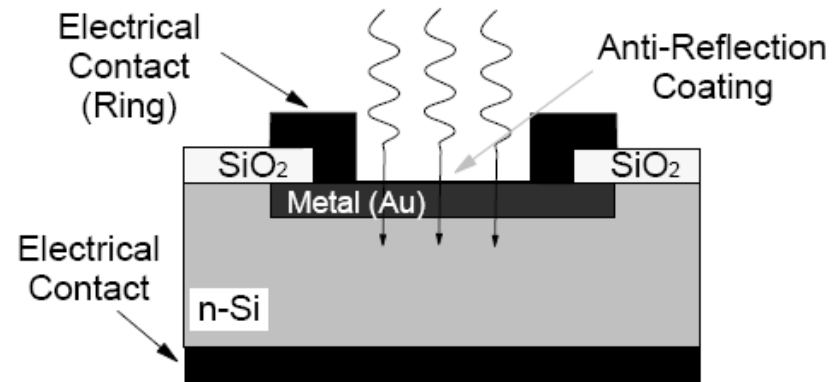
Structura fotodiodei PIN

- ▶ tipic, adancimea stratului intrinsec este de $20\text{--}50\mu\text{m}$
- ▶ cresterea suplimentara a adancimii ar duce la cresterea timpului de tranzit
 - $w=20\mu\text{m} \rightarrow T_{tr} \approx 0.2\text{ns}$



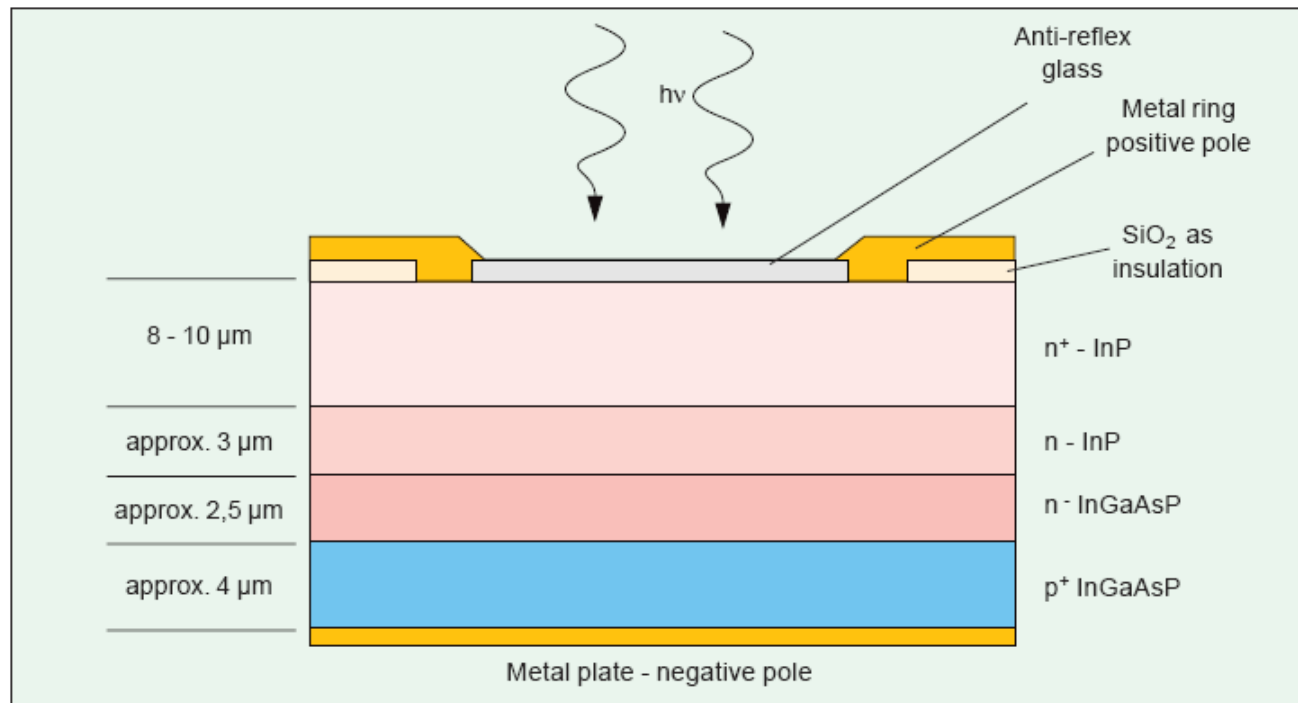
Structura fotodiodelor Schottky

- ▶ se bazeaza pe jonctiunea metal semiconductor
- ▶ vitezele de lucru sunt mult mai mari, metalul fiind un bun conductor realizeaza evacuarea mult mai rapida a purtatorilor din jonctiune
- ▶ permite utilizarea unor materiale cu eficienta mai mare dar care nu pot fi dopate simultan p
si n pentru utilizare in PIN
- ▶ modulatie cu 100GHz posibila



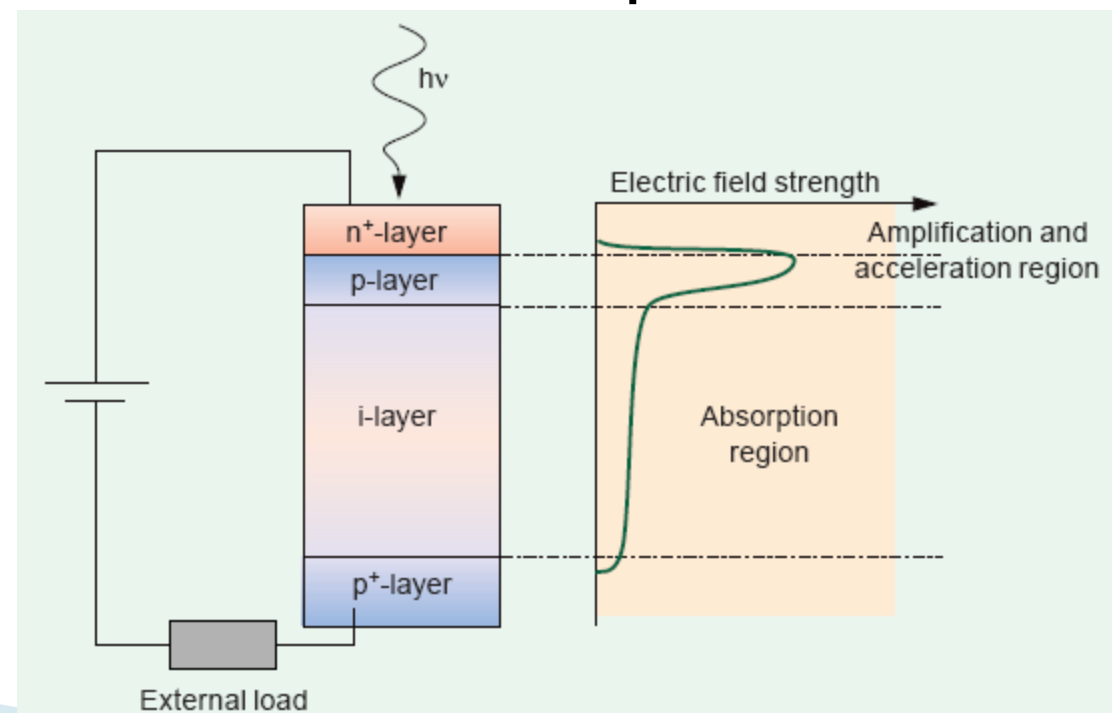
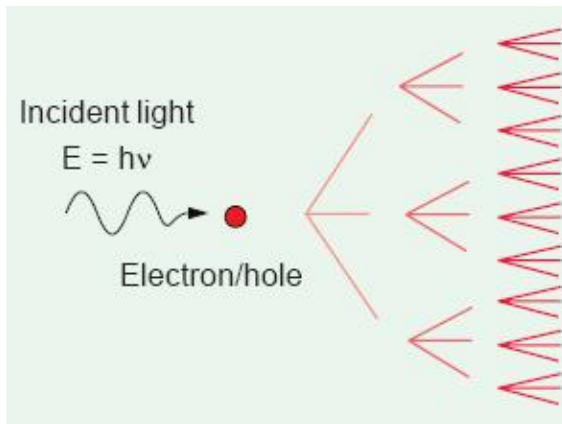
Fotodioda PIN pentru lungimi de unda crescute (1550nm)

- ▶ se utilizeaza tipic
 - InGaAsP pe substrat InP
 - GaAlAsSb pe substrat GaSb



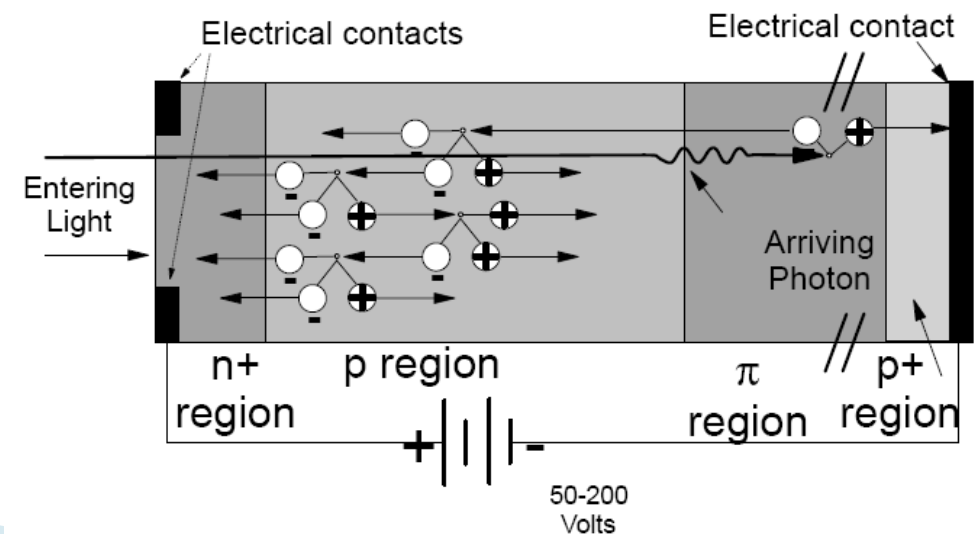
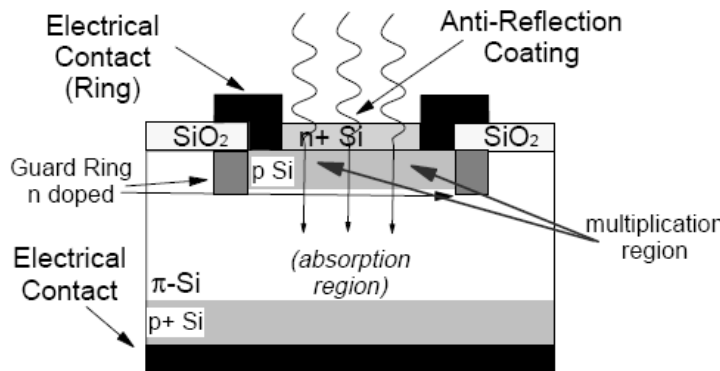
Fotodioda PIN cu multiplicare in avalansa

- ▶ daca viteza purtatorilor este suficient de mare genereaza noi perechi electron/gol prin ionizare de impact
- ▶ amplificarea are loc in acelasi timp cu detectia

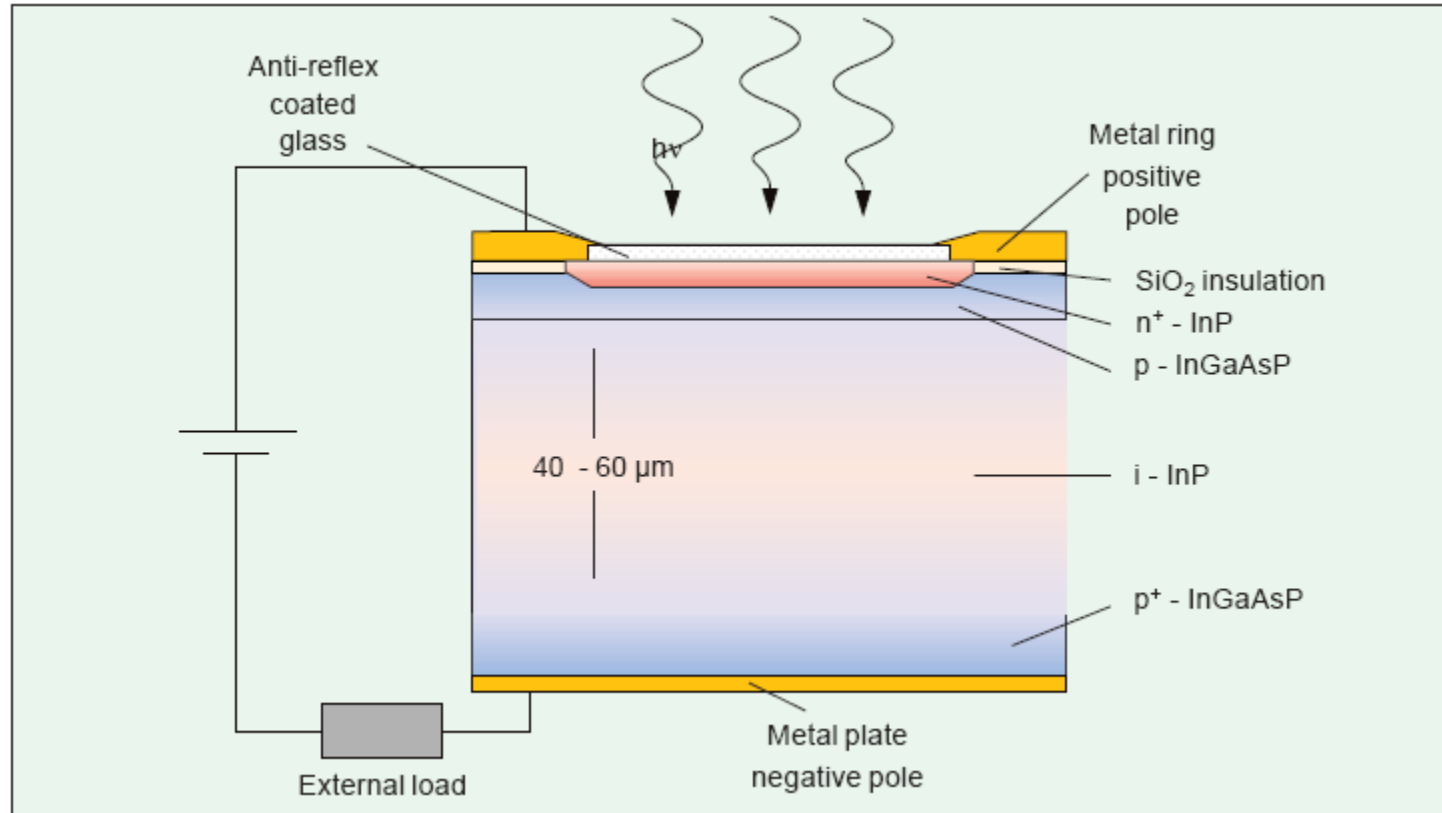


Functionarea fotodiodei cu multiplicare in avalansa

- ▶ campuri electrice de ordinul minim: 3×10^5 V/m, tipic: 10^6 V/m sunt necesare
- ▶ aceste campuri sunt generate de tensiuni inverse de polarizare de ordinul 50–300V
- ▶ structura este modificata pentru concentrarea campului in zona de accelerare



Structura fotodiodei cu multiplicare in avalansa



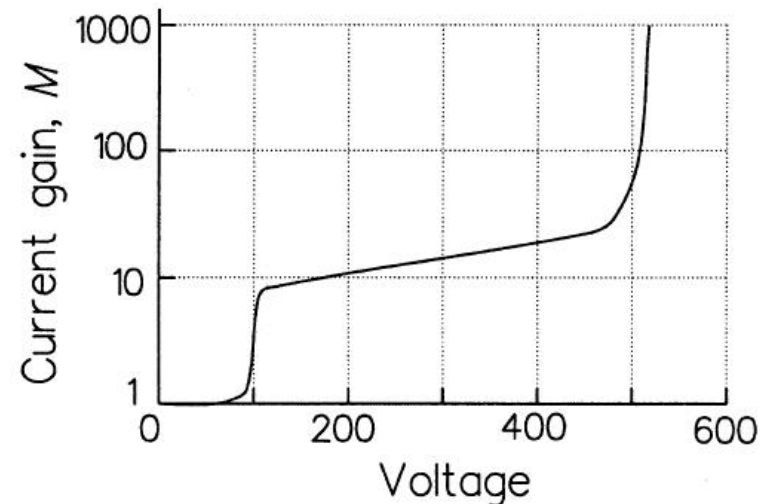
Caracteristicile fotodiodei cu multiplicare în avalansa

- ▶ factorul de multiplicare caracterizează amplificarea photocurentului generat

$$M = \frac{I_M}{I}$$

- ▶ Rezonabilitatea

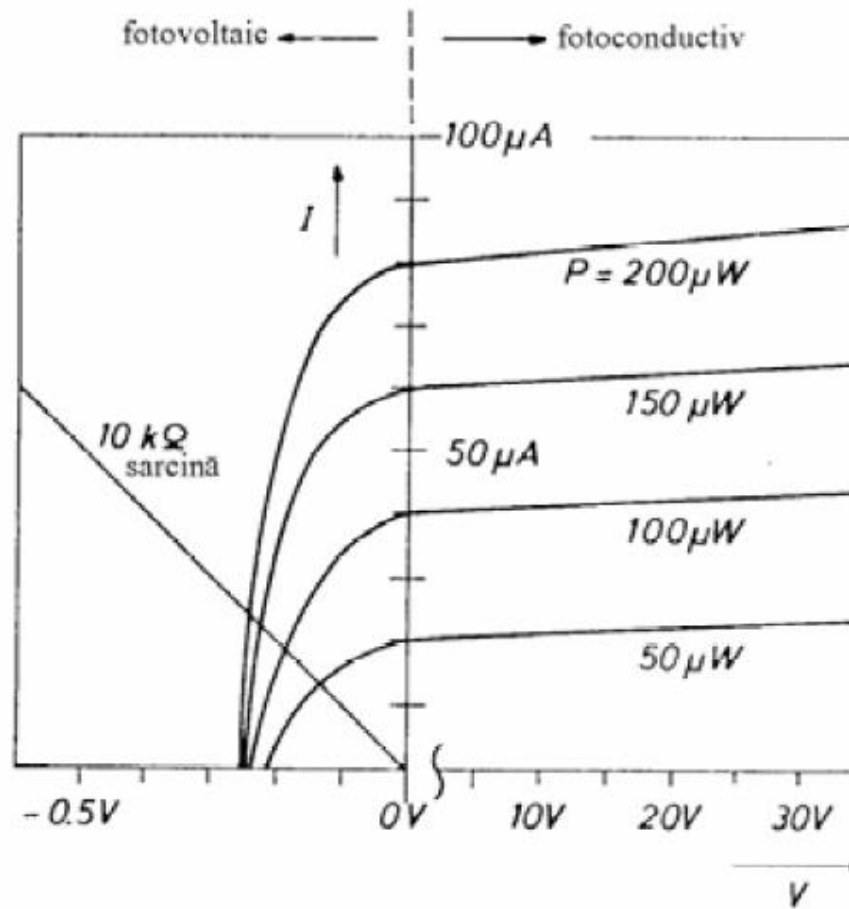
$$R = \frac{I}{P_o} = \frac{\eta \cdot e \cdot \lambda}{hc} \cdot M$$



Dezavantaje

- ▶ tensiuni inverse de polarizare mari cresc complexitatea circuitului
- ▶ diodele cu multiplicare in avalansa sunt intrinsec mai zgomotoase (currentul de zgomot este amplificat de asemenea)
- ▶ factorul de multiplicitate are o componenta aleatorie (zgomot suplimentar)
- ▶ viteza mai redusa (timp de generare al avalansei)

Caracteristici curent/tensiune Fotodioda

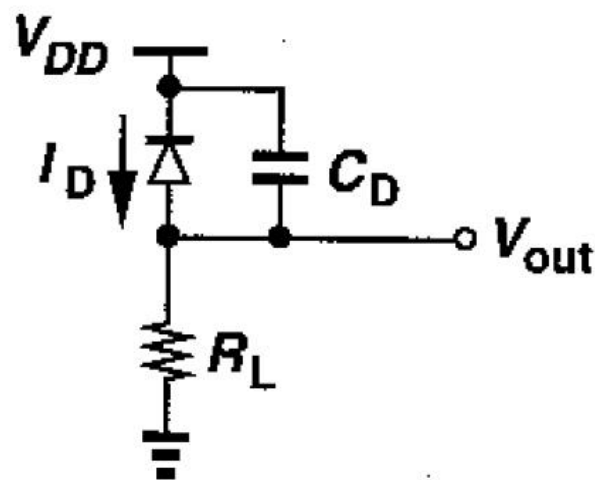


Amplificatoare transimpedanta

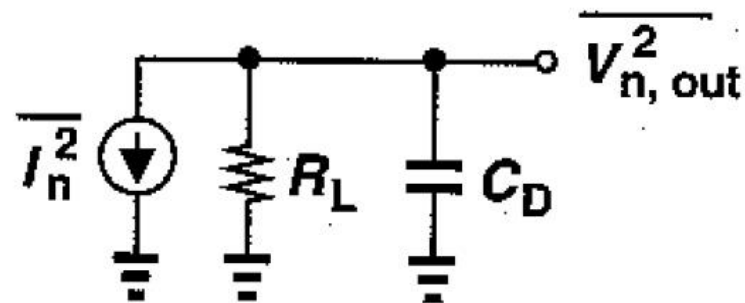
- ▶ Fotodiodele genereaza un curent proportional cu puterea optica receptionata
- ▶ Primul pas necesar este conversia acestui curent la o tensiune
- ▶ Amplificatoarele transimpedanta sunt amplificatoarele atacate in curent si care ofera la iesire o tensiune propotionala cu acesta
- ▶ Amplificarea este masurata in Ω ($k\Omega$)

Amplificatoare transimpedanta

- ▶ Cel mai simplu amplificator transimpedanta este un rezistor



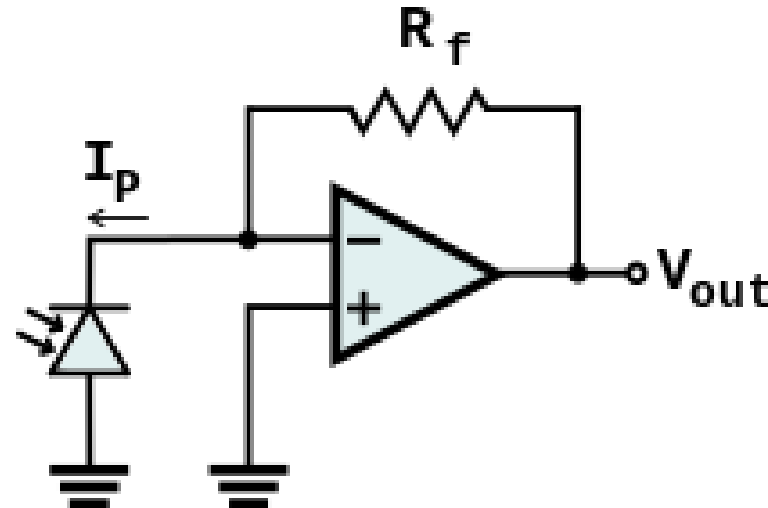
(a)



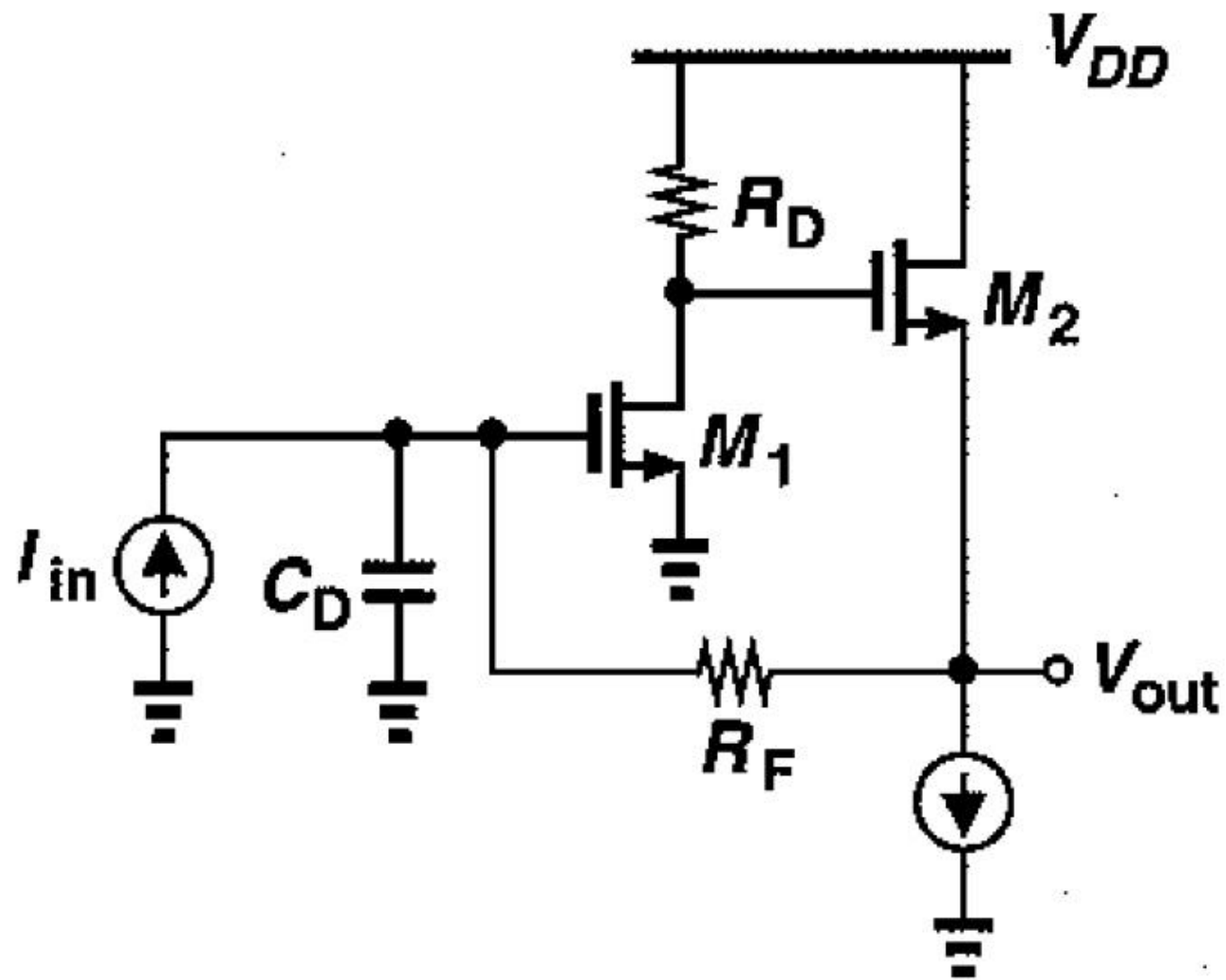
(b)

Amplificatoare transimpedanta

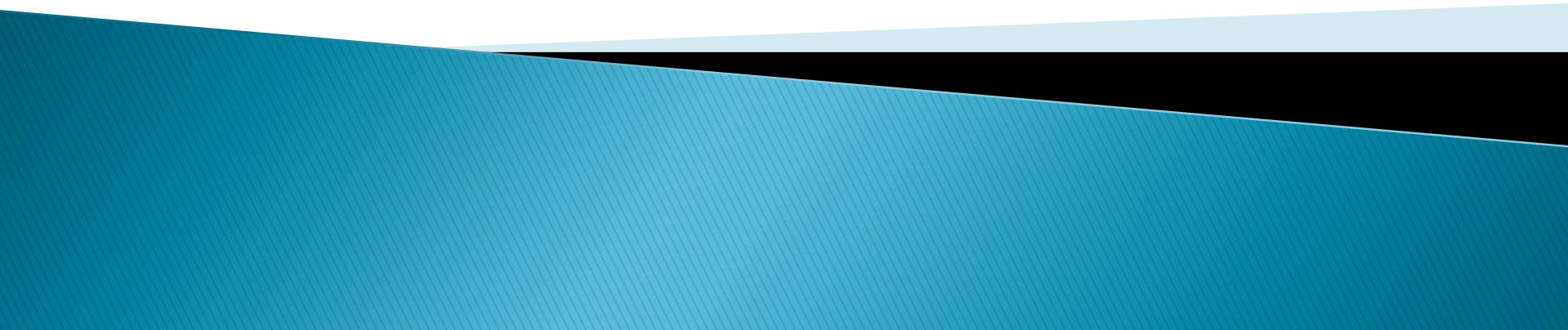
- ▶ Trebuie realizat un compromis intre
 - zgomot
 - castig
 - viteza
- ▶ De obicei sunt realizate cu reactie



Amplificatoare transimpedanta



Zgomotul traductorilor electro-optici



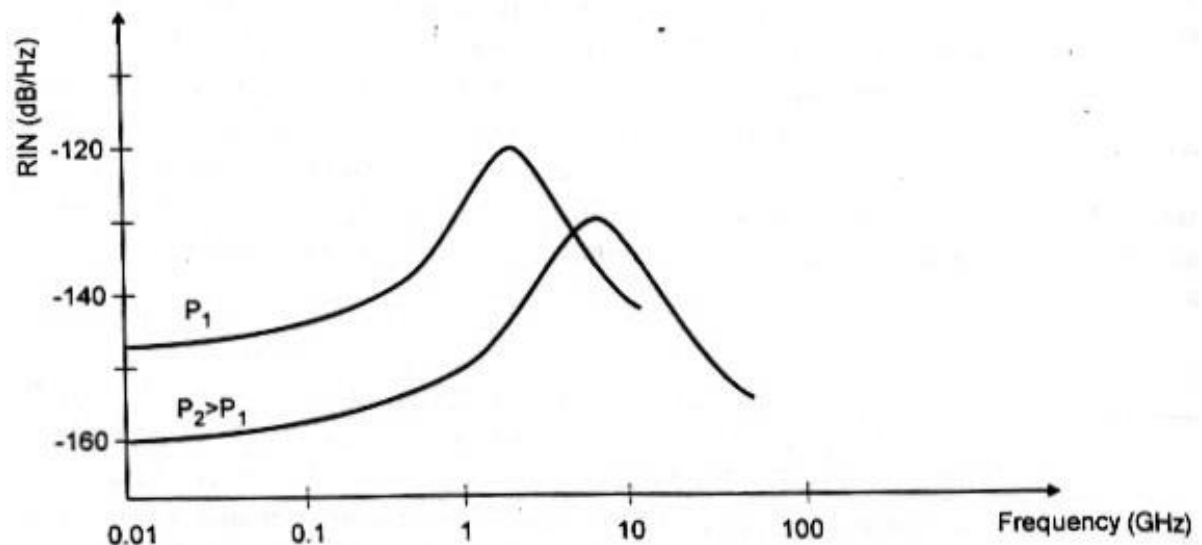
Zgomotul emitorilor optici

- ▶ LED
 - este considerat o sursa lipsita de zgomot
 - nu contamineaza semnalul cu zgomot suplimentar
- ▶ Dioda LASER
 - fluctuatii de faza, determina o largire a spectrului emis
 - fluctuatii de intensitate, determina zgomotul de intensitate introdus de dioda
 - RIN – Relative Intensity Noise

$$RIN[1/Hz] = \frac{\langle P_n^2 \rangle}{\langle P^2 \rangle \cdot BW}$$

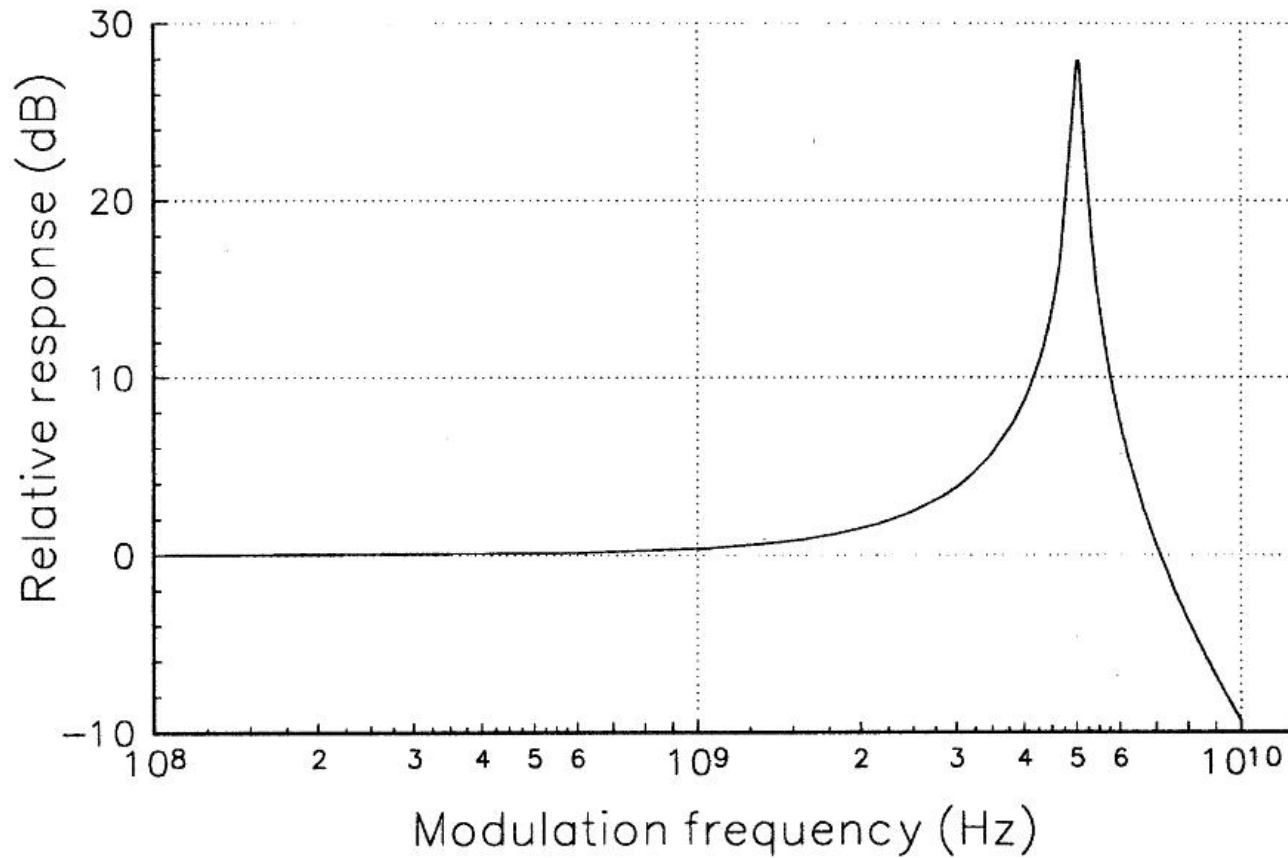
RIN

- ▶ reprezinta o densitate spectrala de zgomot
 - puterea de zgomot depinde de RIN si de banda semnalului
- ▶ Depinde de puterea semnalului
 - P^{-3} la puteri mici, P^{-1} la puteri mari



Raspunsul unei diode laser

- ▶ oscilatii de relaxare - x GHz



EIN

▶ Equivalent Input Noise

- R_i – rezistenta de intrare in circuitul de modulatie a diodei
- Variatiile de putere (zgomot) echivalente unor variatii de curent (zgomot) prin dioda

$$\langle P_n^2 \rangle = r \cdot \langle I_n^2 \rangle$$

$$EIN[W] = R_i \cdot \langle I_n^2 \rangle \quad 1 \text{ Hz banda}$$

$$EIN[W / Hz] = RIN \cdot (I_0 - I_{th})^2 \cdot R_i$$

Zgomotul fotodiodei

▶ NEP

- Noise Equivalent Power
- r – rezonabilitatea diodei

$$NEP[W] = \frac{\int \sqrt{\langle i_n^2 \rangle} df}{r}$$

- r depinde de λ , implica NEP depinde de λ
- În cataloge apare de obicei densitatea spectrală

$$NEP[W / \sqrt{Hz}] = \frac{\sqrt{\langle i_n^2 \rangle}}{r} = \frac{NEP}{\sqrt{BW_{PD}}}$$

Zgomotul fotodiodei

- ▶ NEP
 - cea mai mica putere detectabila

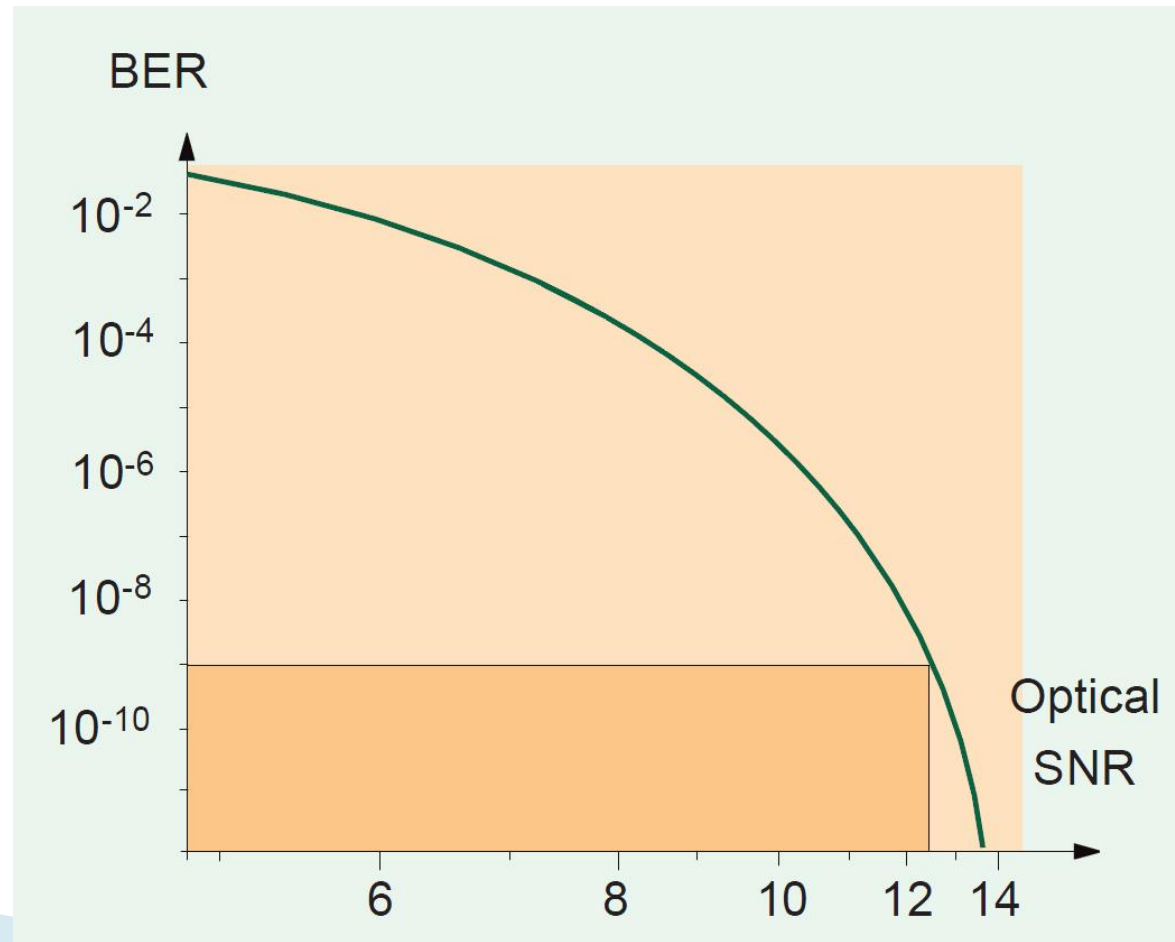
$$\langle i_n^2 \rangle = 2 \cdot e \cdot I \cdot BW_{PD} = 2 \cdot e \cdot (I_S + I_{dark}) \cdot BW_{PD}$$

$$P_{\min} = \frac{\sqrt{\langle i_n^2 \rangle_{\min}}}{r} = \frac{1}{r} \cdot \sqrt{2 \cdot e \cdot I_{dark} \cdot BW_{PD}}$$

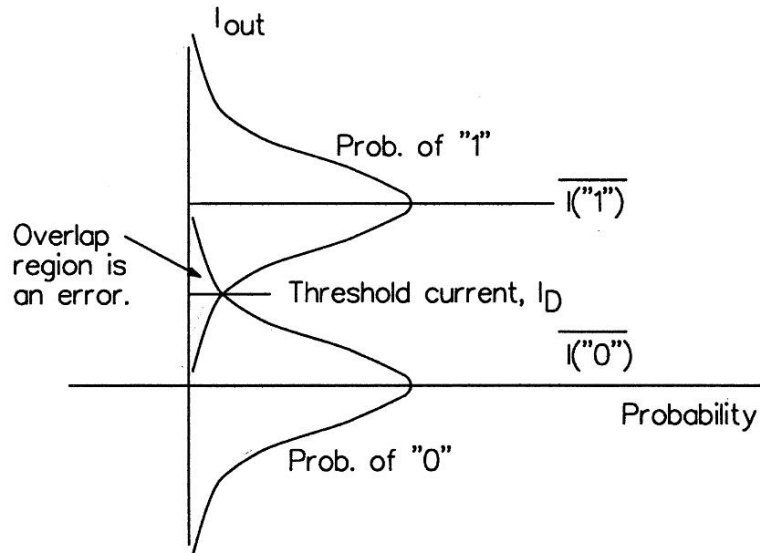
$$NEP[W / \sqrt{Hz}] = \frac{1}{r} \cdot \sqrt{2 \cdot e \cdot I_{dark}}$$

BER

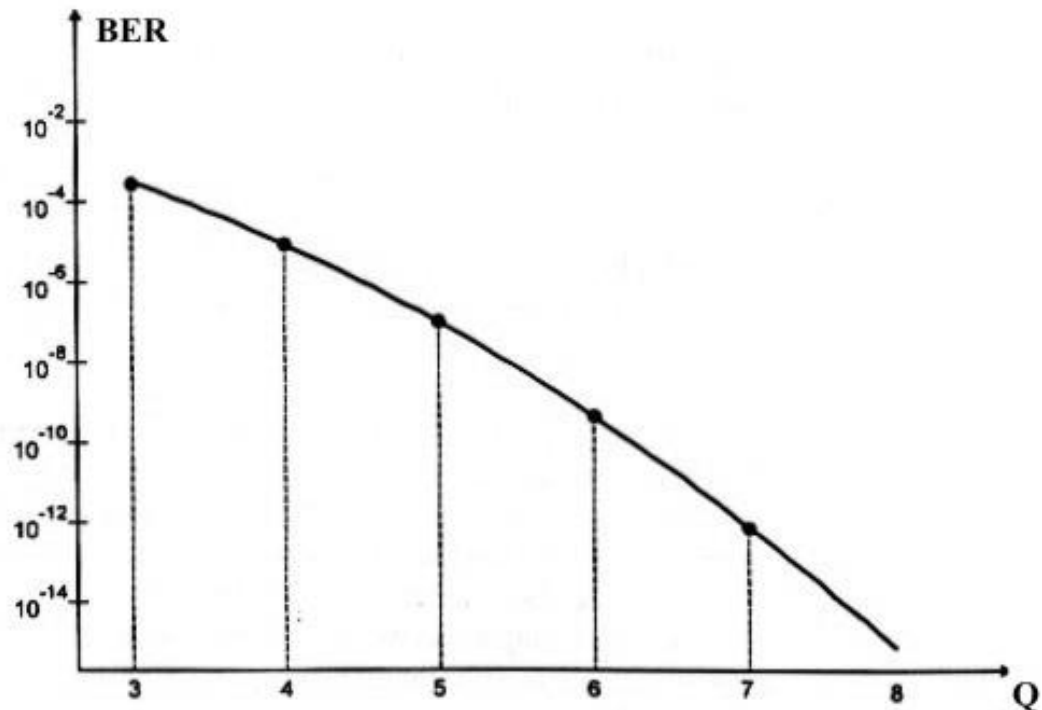
▶ Bit Error Rate



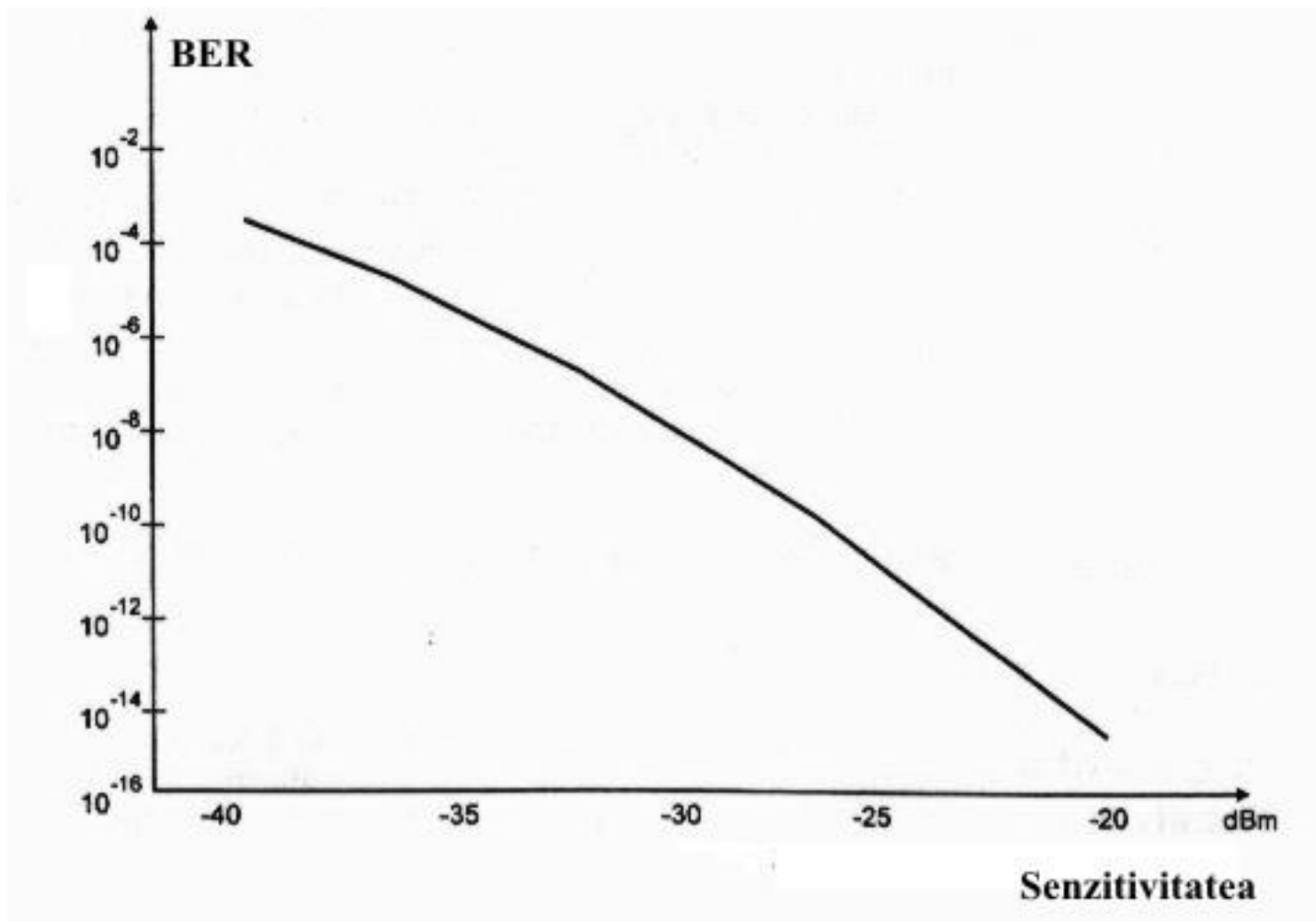
Probabilitate de eroare



$$Q = \frac{\bar{i}(1) - I_D}{\sigma_1} = \frac{I_D - \bar{i}(0)}{\sigma_0}$$



Senzitivitatea unei diode



Contact

- ▶ Laboratorul de microunde si optoelectronica
- ▶ <http://rf-opto.etti.tuiasi.ro>
- ▶ rdamian@etti.tuiasi.ro